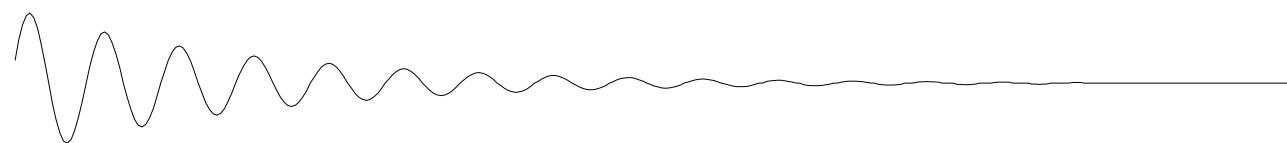


CONTROL@SYMO

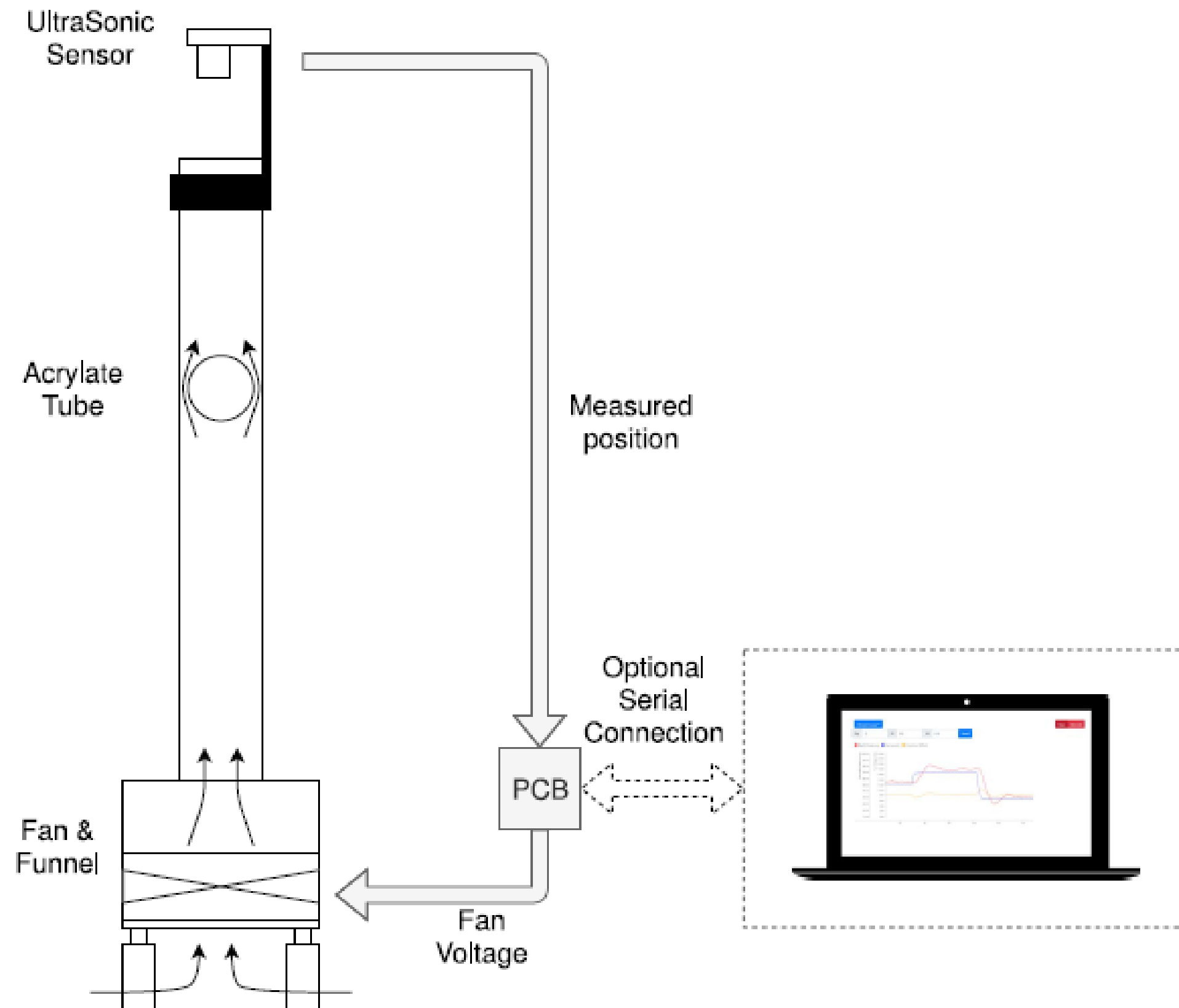
Kevin Dekemele

Jasper Juchem

Mia Loccufier



LEVITATIE VAN EEN BAL



IDEALE IN/UITGANG

= uitgang volledig door aanpasbare ingang



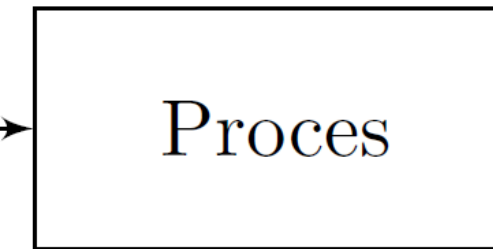
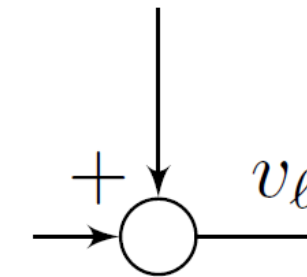
Proces model: $m\ddot{x} = -mg + c(v_\ell - \dot{x})^2$

Evenwicht: $mg = cv_\ell^2$

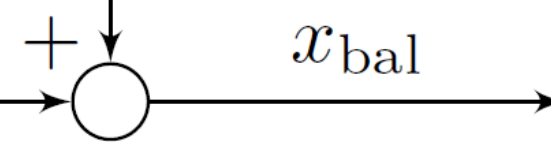
Moeilijk manueel x_{bal} in te stellen omdat sturing de versnelling aanpast

MEETRUIS PROCESS STORING

Proces storing



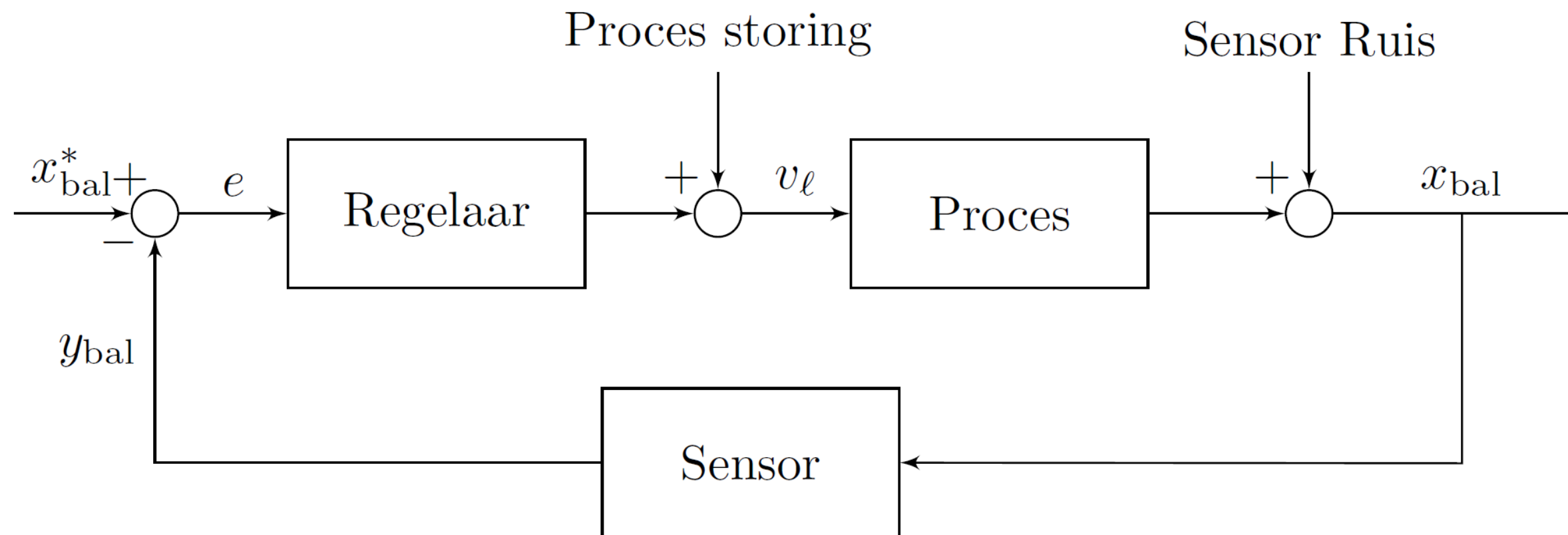
Sensor Ruis



Proces storing: Extra ingang, mogelijks niet of indirect in de hand.

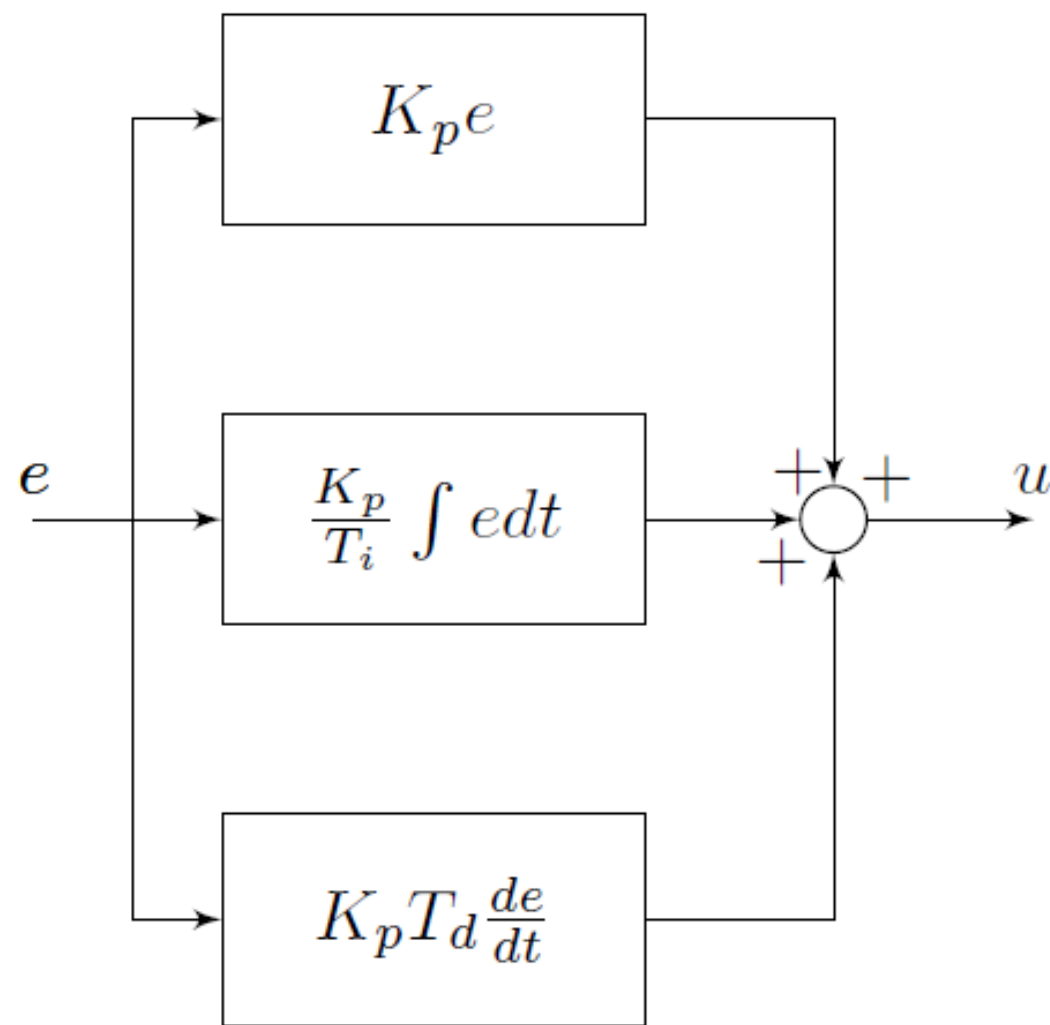
Sensor Ruis: Sensor nooit exact

TERUGKOPPELING EN REGELALGORITME



- Dynamica sensor: Meestal te verwaarlozen (veel sneller dan process)
- Regelalgoritme: Regel op basis verschil gewenste waarde (setpoint) en gemeten waarde (= error)
- Typisch (niet-optimale) regeling: aan/uit met dode band (centrale verwarming)

TERUGKOPPELING EN REGELALGORITME



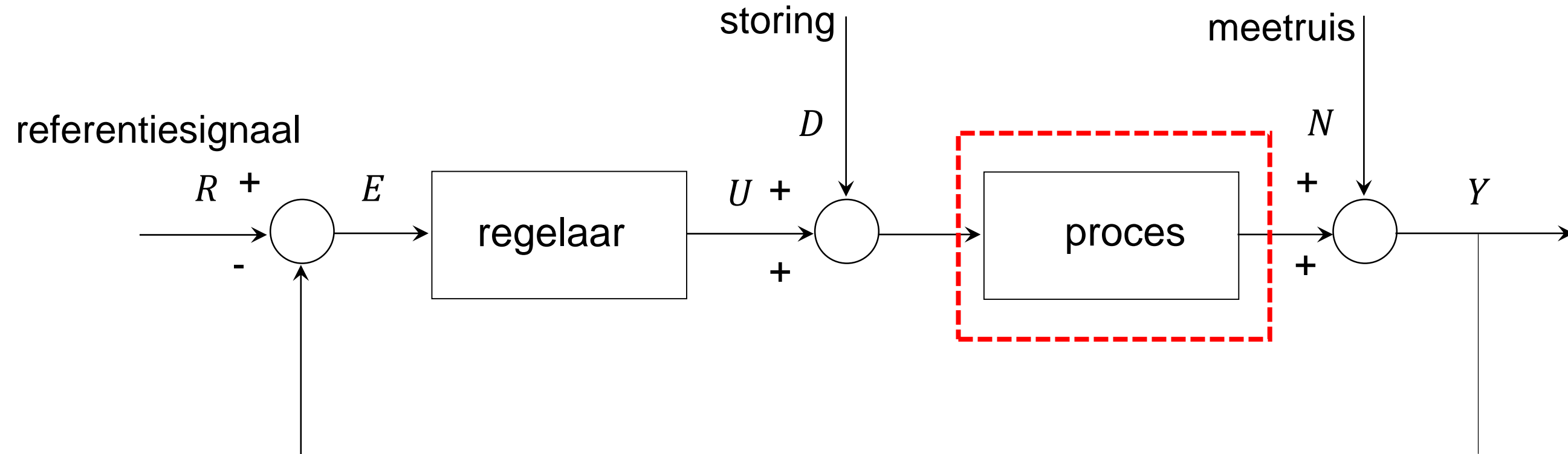
$$u(t) = K_p \left(e(t) + \frac{1}{T_i} \int_0^t e(\tau) d\tau + T_d \frac{de(t)}{dt} \right)$$

$$u(t) = K_p \left(e(t) + \frac{1}{T_i} \sum_{i=0}^n e(i) t_s + T_d \frac{e(t) - e(t - t_s)}{t_s} \right)$$

- P: $K_p e(t)$ stuur zolang fout niet 0 is
- I: $\frac{K_p}{T_i} \sum_{i=0}^n e(i) t_s$ stuur zolang som fout niet 0 is
- D: $K_p T_d \frac{e(t) - e(t - t_s)}{t_s}$ stuur zolang afgeleide fout niet 0 is

KARAKTERISEREN VAN PROCESSEN

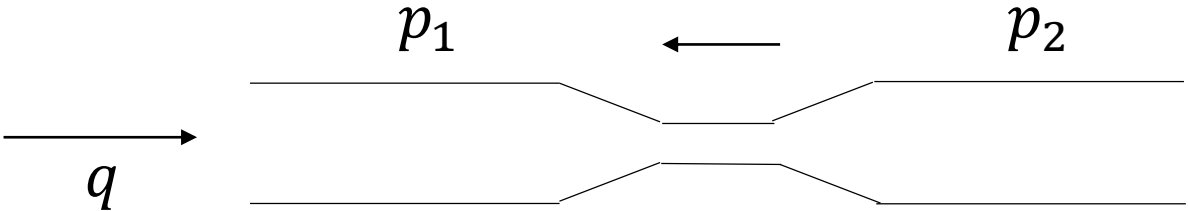
- Proces bepaalt te kiezen regelaar
- Wat is INGANG (gemanipuleerde variable), wat is UITGANG (gecontroleerde variabele)?
- Generieke types van processen



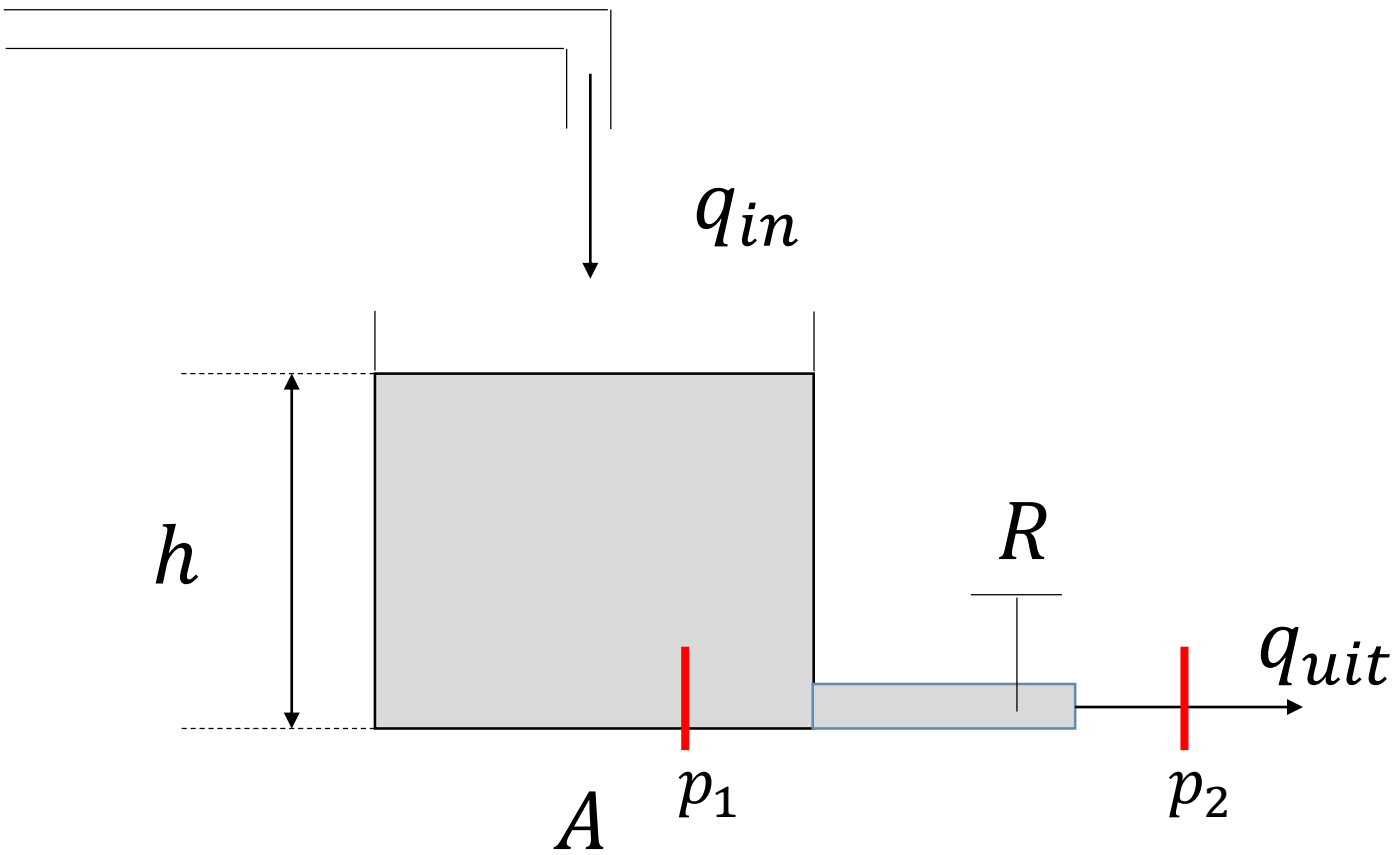
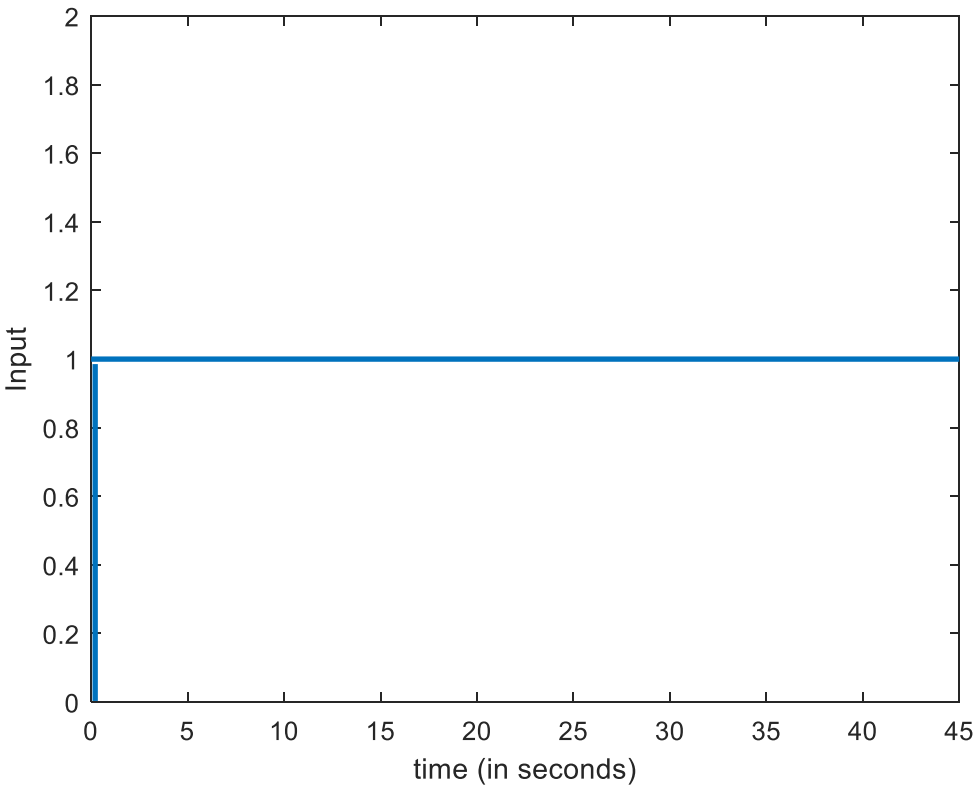
MONOTOON PROCES ANTWOORD: EERSTE-ORDE-PROCES

Balans: $\frac{d}{dt}(Ah) = q_{in} - q_{uit}$ linearisatie $\Rightarrow \frac{d}{dt}(Ah) = q_{in} - \frac{h}{R}$

Linearisatie rond een werkpunt
Kleine afwijkingen



$$q = k\sqrt{p_1 - p_2}$$

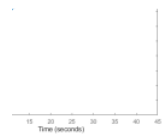


MONOTOON PROCES ANTWOORD: EERSTE-ORDE-PROCES

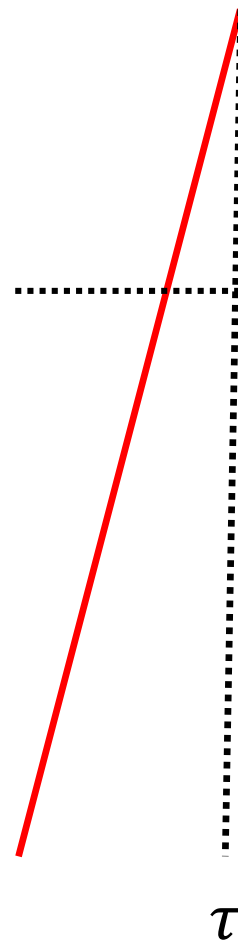
Indien $q_{in} = 0$ dan $\frac{dh}{dt} = -\frac{h}{RA}$

$RA = \tau$ tijdsconstante

De wijziging van de grootheid is evenredig met zichzelf: overgangsgedrag volgens één exponentiele functie



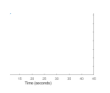
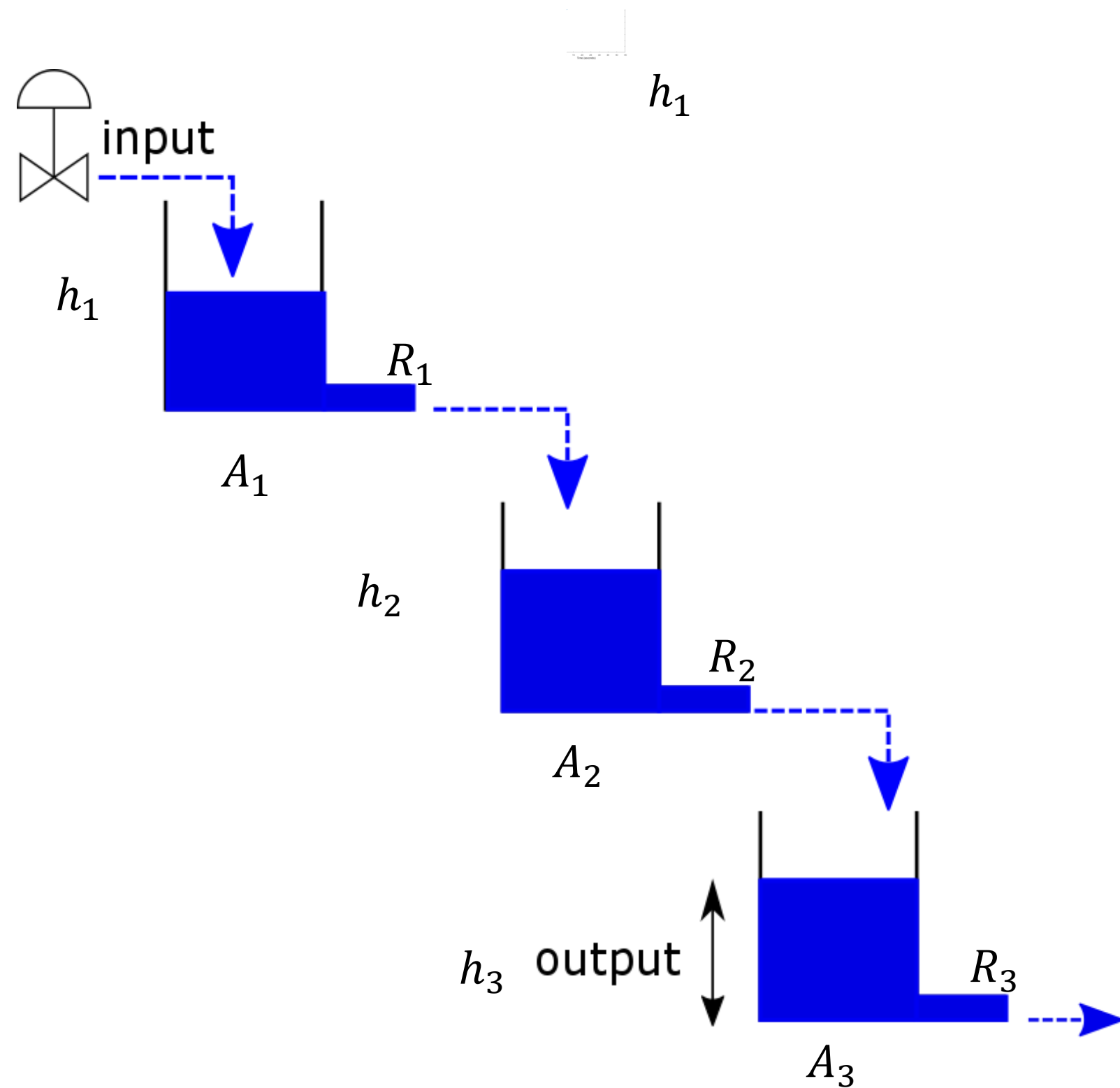
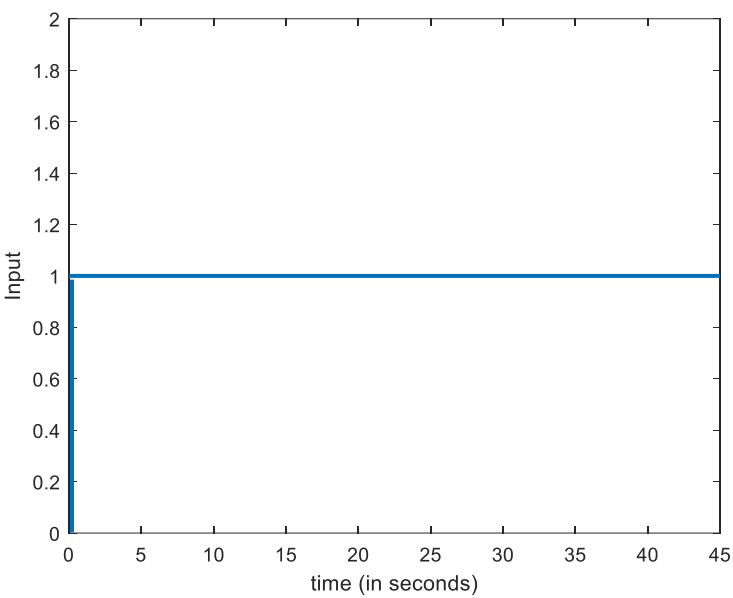
0.63 K



$e^{-\frac{t}{\tau}}$ exponentiele functie met tijdsconstante τ

Het proces is zelfregelend

MONOTOON PROCES ANTWOORD : >=TWEEDE-ORDE-PROCES



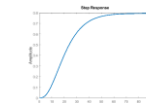
h_1

$$e^{-\frac{t}{\tau_1}}$$



h_2

$$e^{-\frac{t}{\tau_2}}$$



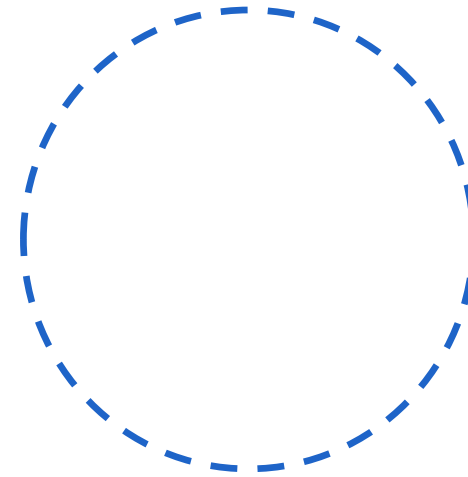
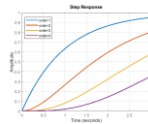
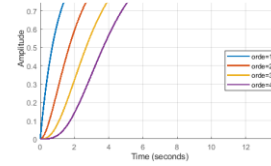
h_3

$$e^{-\frac{t}{\tau_3}}$$

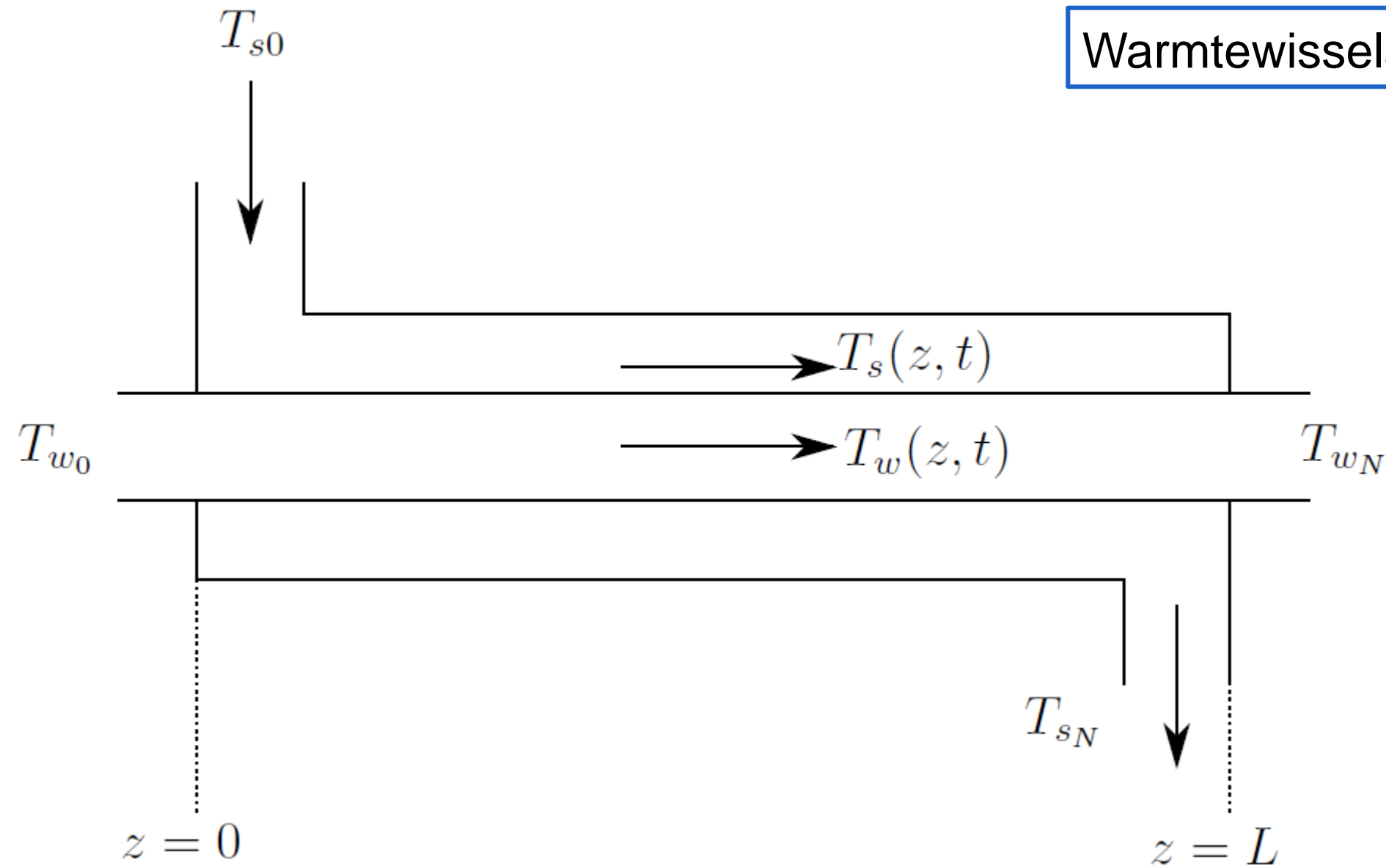
MONOTOON PROCES ANTWOORD : \geq TWEEDE-ORDE-PROCES

Typische S-vorm door cascade van verschillende opeenvolgende dynamica 's

Het proces is zelfregelend



GECONCENTREERDE VERSUS VERDEELDE PARAMETERS



Warmtewisselaar: twee concentrische buizen

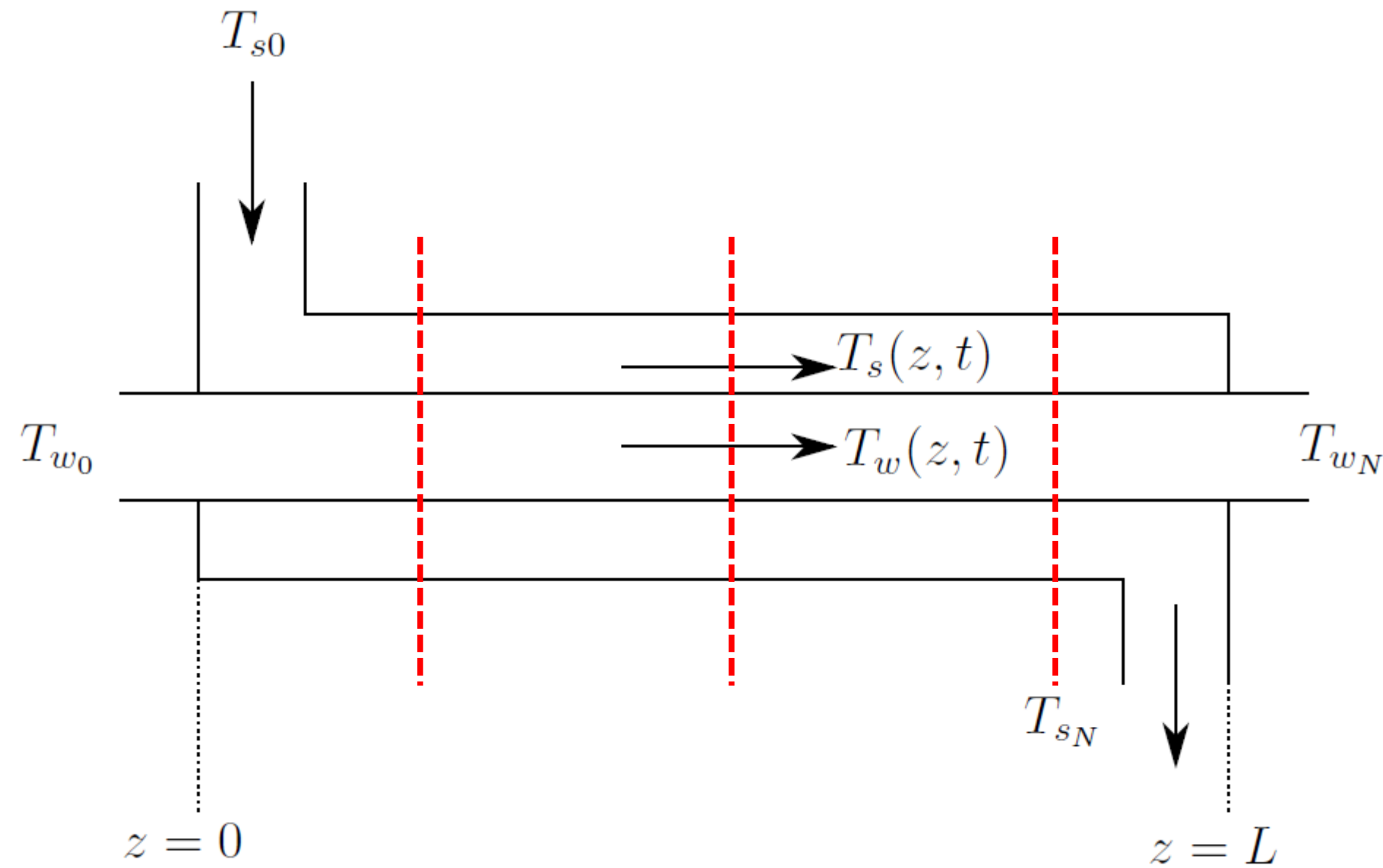
T_s stoomtemperatuur

T_w watertemperatuur

Partiele differentiaalvergelijking

$$\begin{aligned} \frac{dT_{w_i}}{dt} &= -v_w \frac{T_{w_i} - T_{w_{i-1}}}{\Delta z} + a_w (T_{s_i} - T_{w_i}) \quad i = 1, 2, 3 \\ \frac{dT_{s_i}}{dt} &= -v_s \frac{T_{s_i} - T_{s_{i-1}}}{\Delta z} + a_s (T_{w_i} - T_{s_i}) \quad i = 1, 2, 3 \end{aligned}$$

GECONCENTREERDE VERSUS VERDEELDE PARAMETERS

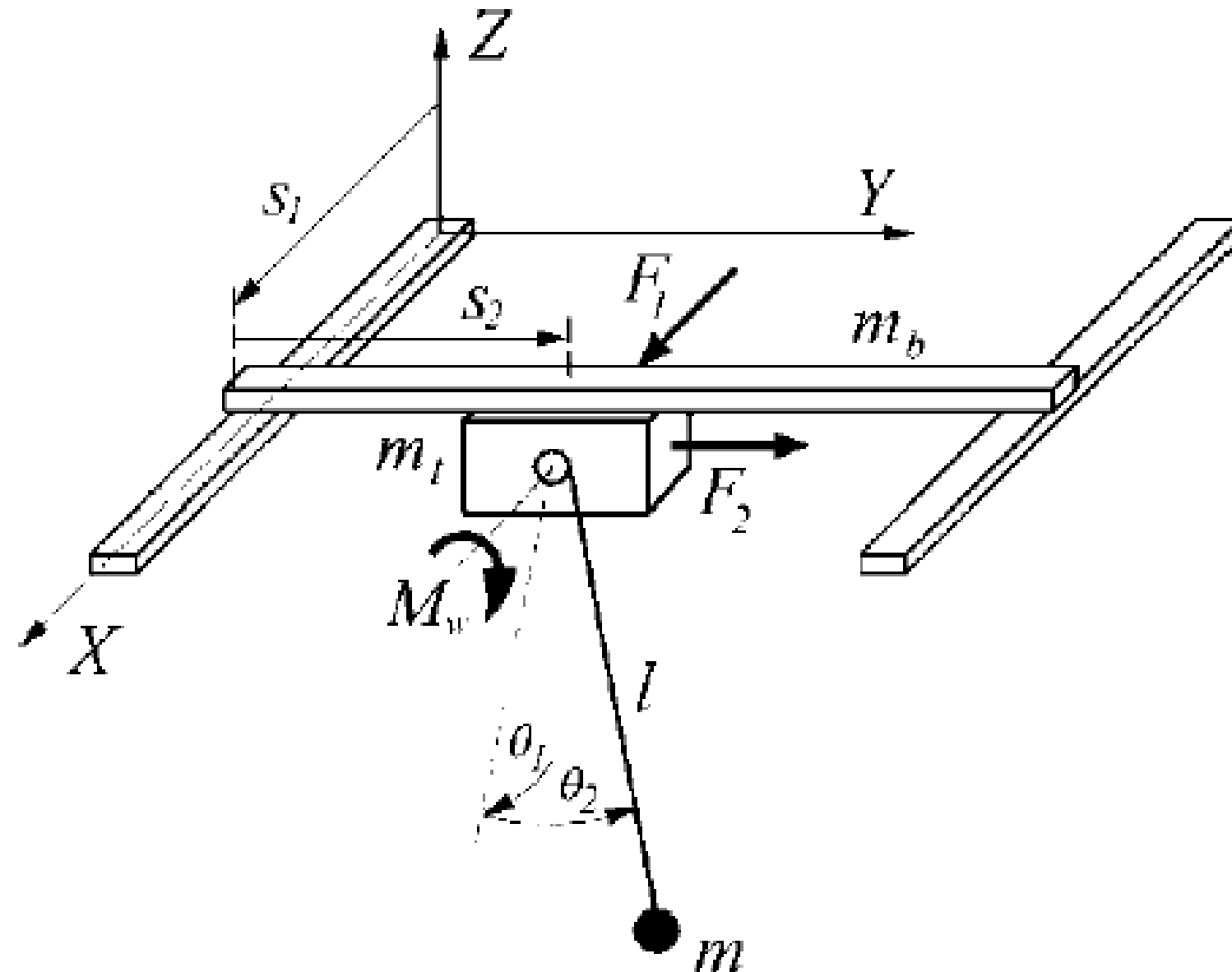


Discretisatie

Blokken met lengte Δz

$$\begin{aligned}\frac{dT_{w_i}}{dt} &= -v_w \frac{T_{w_i} - T_{w_{i-1}}}{\Delta z} + a_w (T_{s_i} - T_{w_i}) \quad i = 1, 2, 3 \\ \frac{dT_{s_i}}{dt} &= -v_s \frac{T_{s_i} - T_{s_{i-1}}}{\Delta z} + a_s (T_{w_i} - T_{s_i}) \quad i = 1, 2, 3\end{aligned}$$

OSCILLEREND PROCESANTWOORD: LOOPKAT



Slingerbeweging θ regelen via translatie wagen

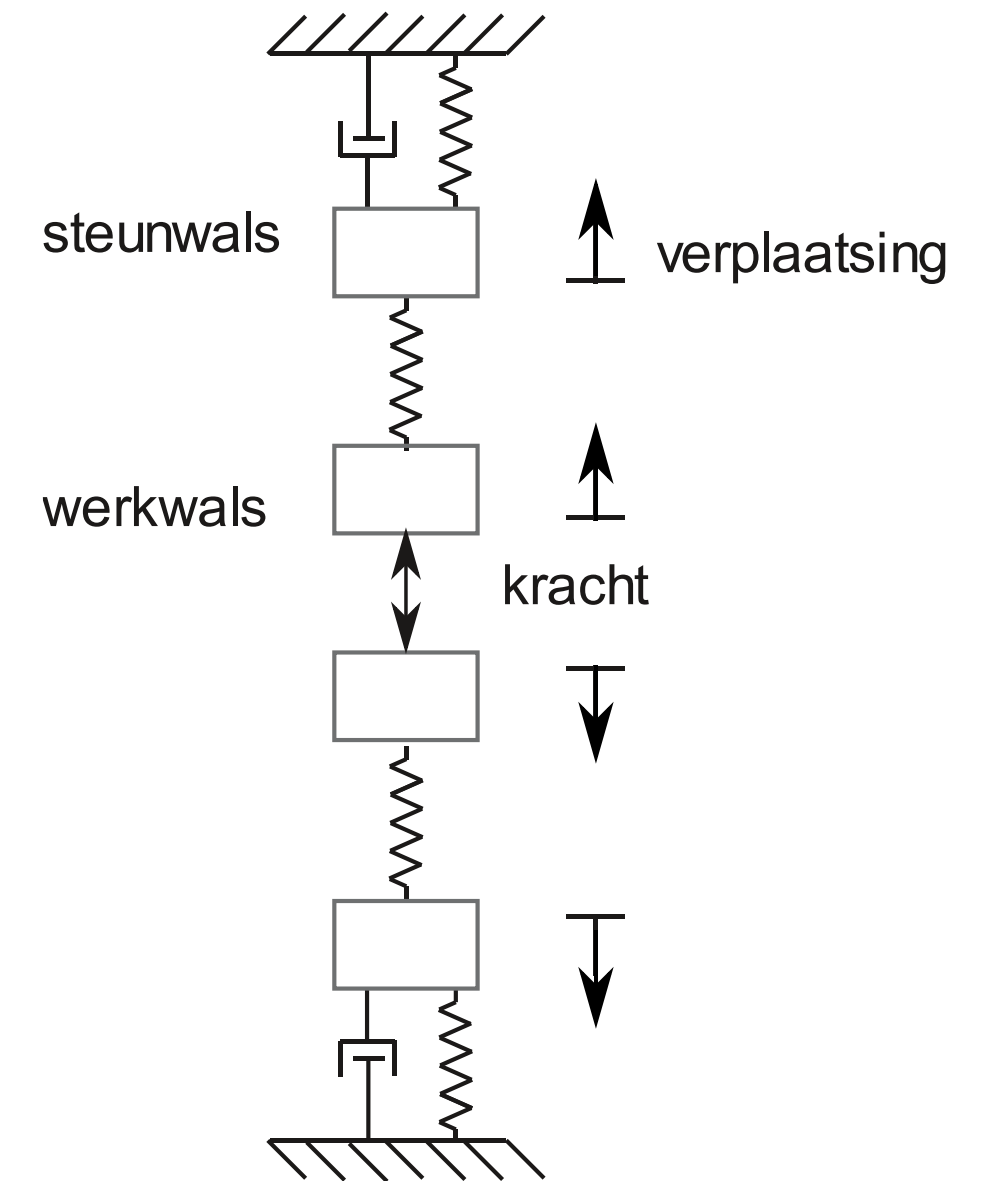
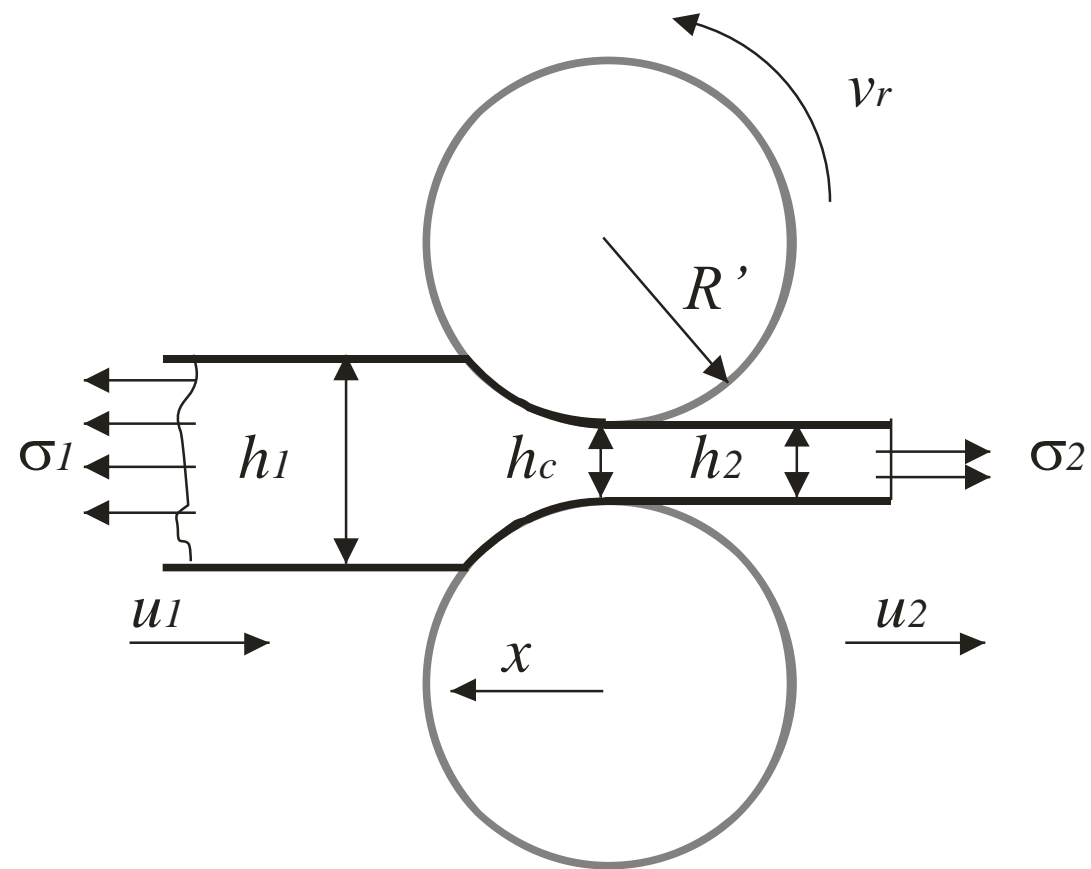
Kraanbestuurder: vorm van voorwaartse regeling

OSCILLEREND PROCESANTWOORD: WALSEN

tandemwalsen dat zorgt voor de juiste dikte en de macroscopische ruwheid

Het rolproces is de interactie tussen de smering, de plaat en de walsen

Uni-axiaal model voor derde octaaf trillingen: 120 tot 250 Hz



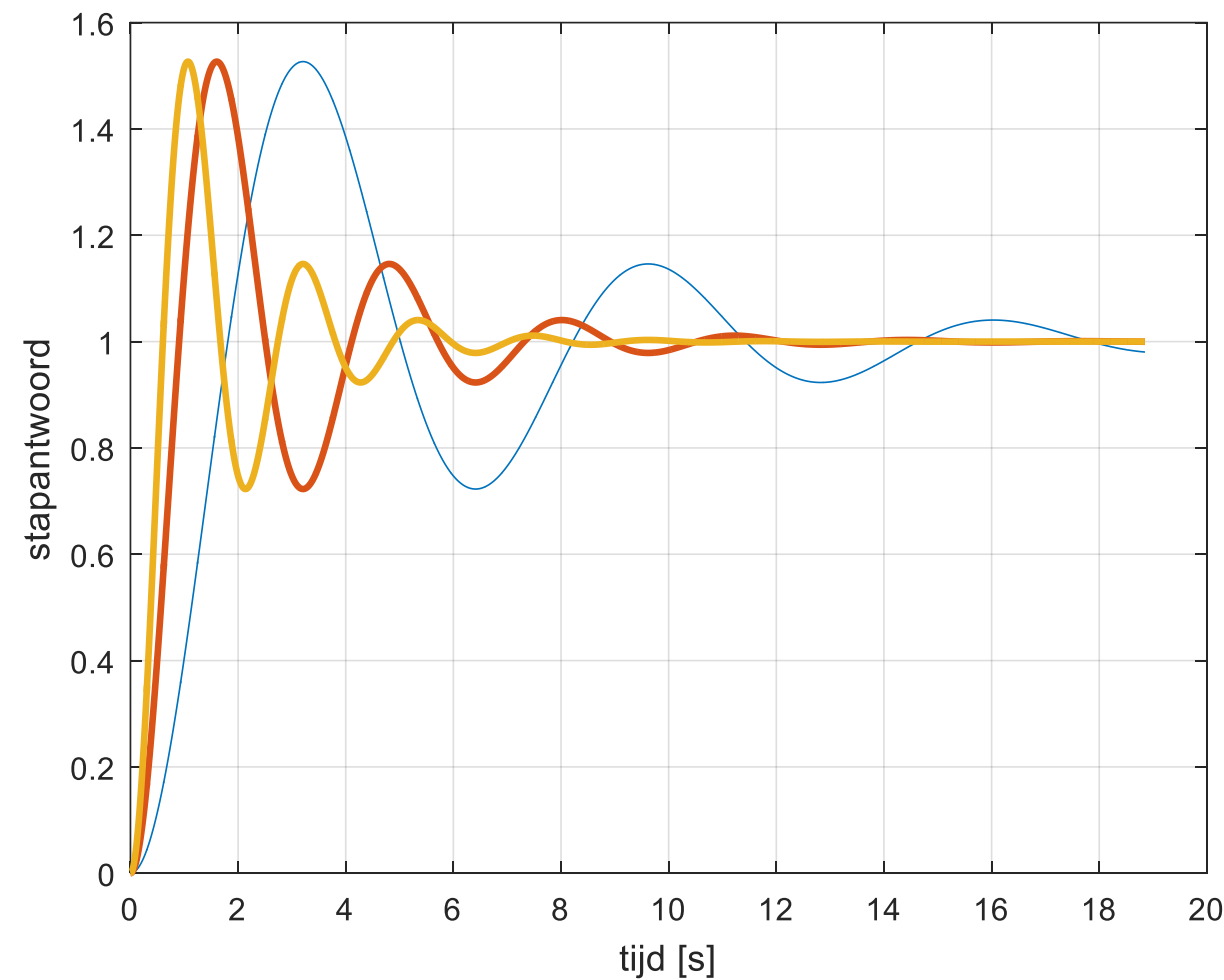
Automatische snelheidsregeling van het proces indien een ongewenste dikte variatie wordt gedetecteerd

OSCILLEREND PROCESANTWOORD: GENERIEK MODEL

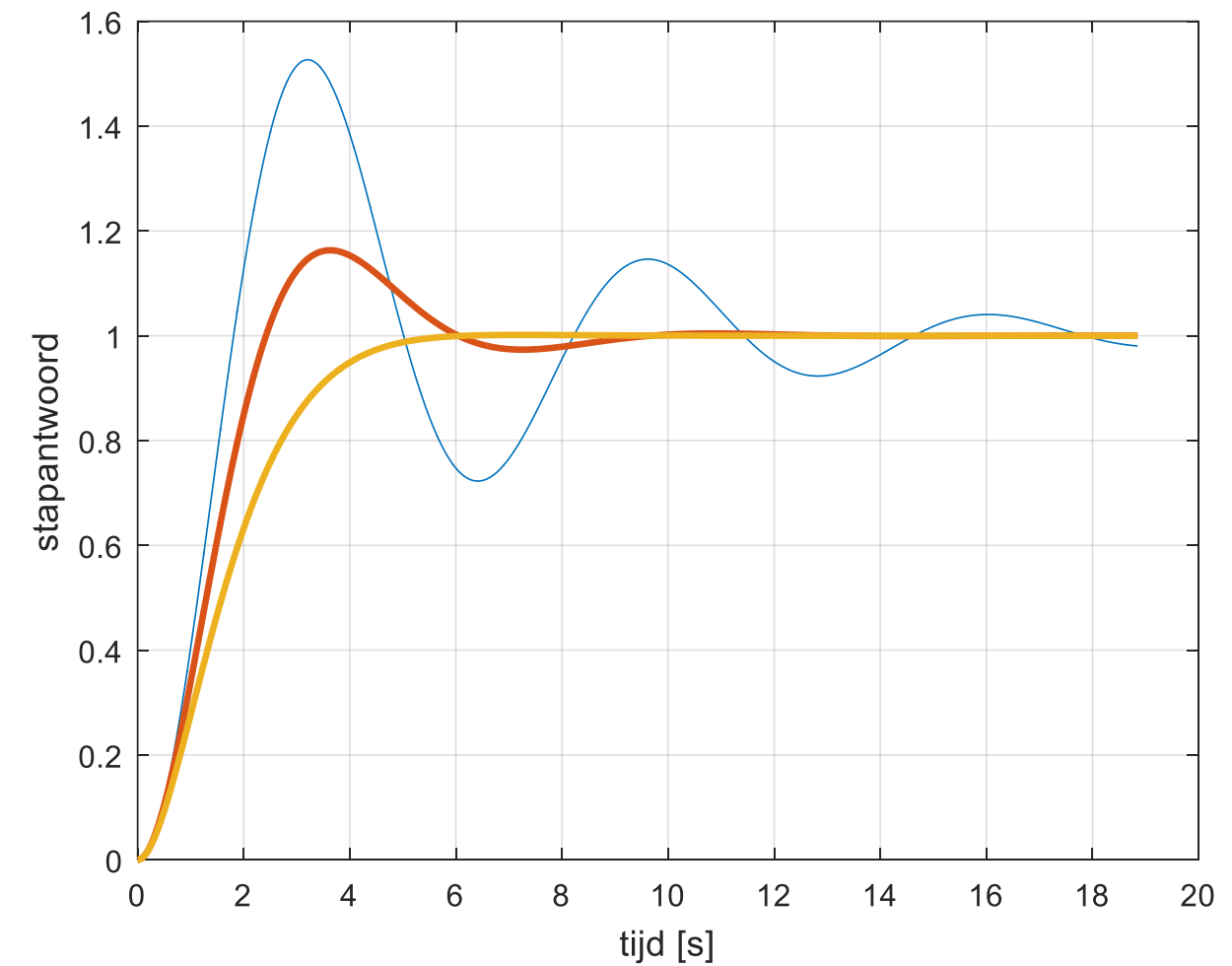
Generiek model

$$\frac{d^2y}{dt^2} + 2\zeta\omega_n \frac{dy}{dt} + \omega_n^2 y = K\omega_n^2 u$$

Damping factor: ζ
Natuurlijke frequentie: ω_n

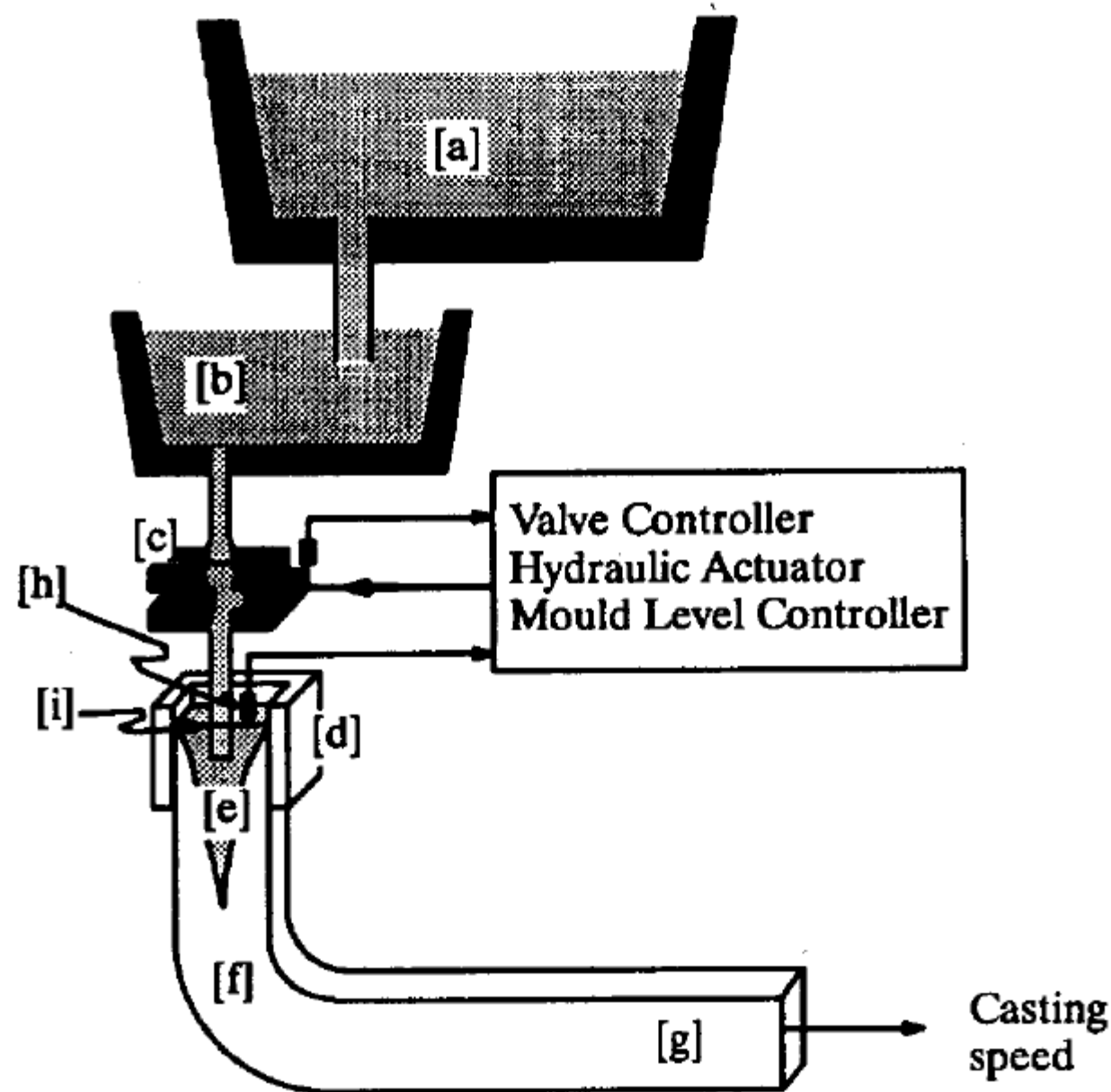


$$\omega_n = [1 \ 2 \ 3], \left(\frac{rad}{s}\right) \quad \zeta = [0.2]$$



$$\omega_n = [1], \left(\frac{rad}{s}\right) \quad \zeta = [0.2 \ 0.5 \ 0.9]$$

INTEGREREND PROCESANTWOORD: CONTINU GIETEN



Vloeibaar staal wordt in een verdeler gegoten. De verdeler is een voldoende groot reservoir zodat een continu gieten in gietvorm verzekerd is.

Een regel probleem is voorzien in een constant niveau in de gietvorm.

$$\frac{dx_g}{dt} = \frac{x_{in} - x_{uit}}{A_g} \Rightarrow x_g = \int \frac{x_{in} - x_{uit}}{A_g} dt$$

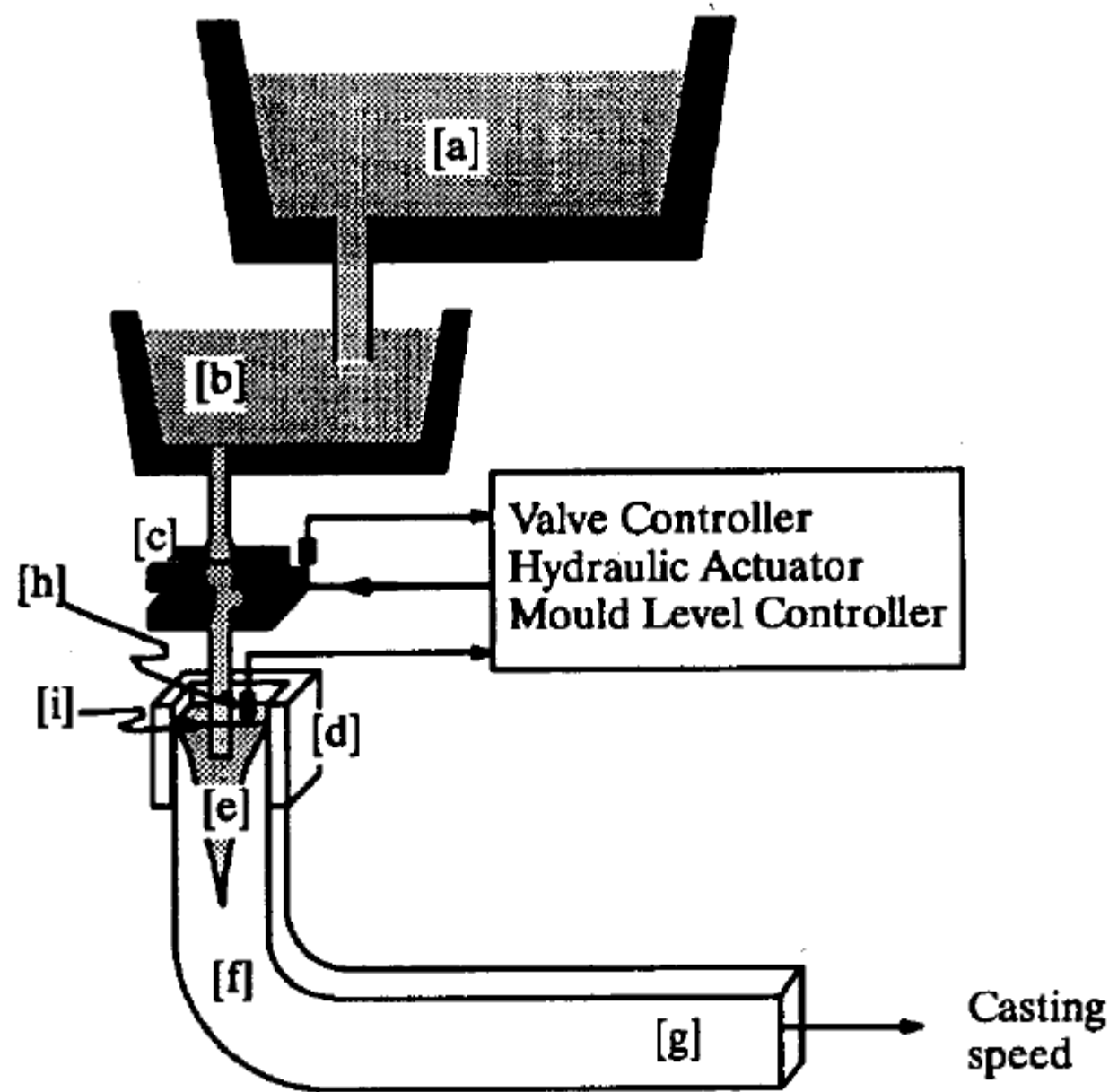
x_g Niveau in de gietvorm

x_{in} Toevoerstroom naar de gietvorm, functie van de klepopening

x_{uit} Uitstroom uit de gietvorm, afhankelijk van de treksnelheid

Het proces is niet zelfregelend

NIET-LINEAIRE PROCESSEN: CONTINUÛGIETEN



$$\frac{dx_g}{dt} = \frac{x_{in} - x_{uit}}{A_g} \Rightarrow x_g = \int \frac{x_{in} - x_{uit}}{A_g} dt$$

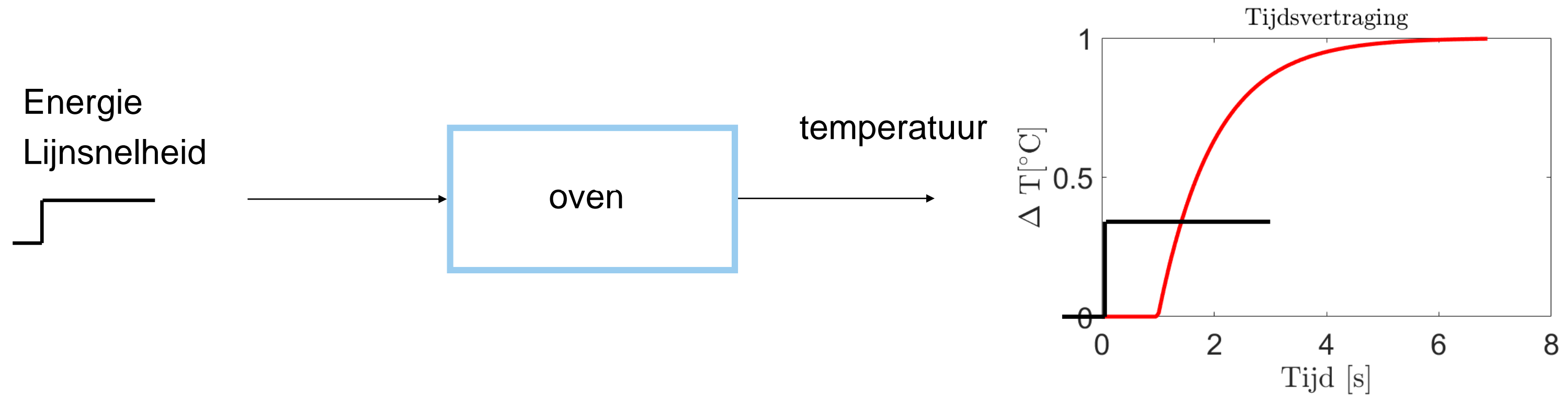
x_{in} Toevoerstroom naar de gietvorm, functie van de klepopening

A_k Doorstroom oppervlakte: niet-lineaire afhankelijkheid van de hydraulische actuator positie. Niet-lineariteit ten gevolge van de geometrie

Hydraulische actuator: gevoelig aan stickslip als gevolg van niet-lineaire damping

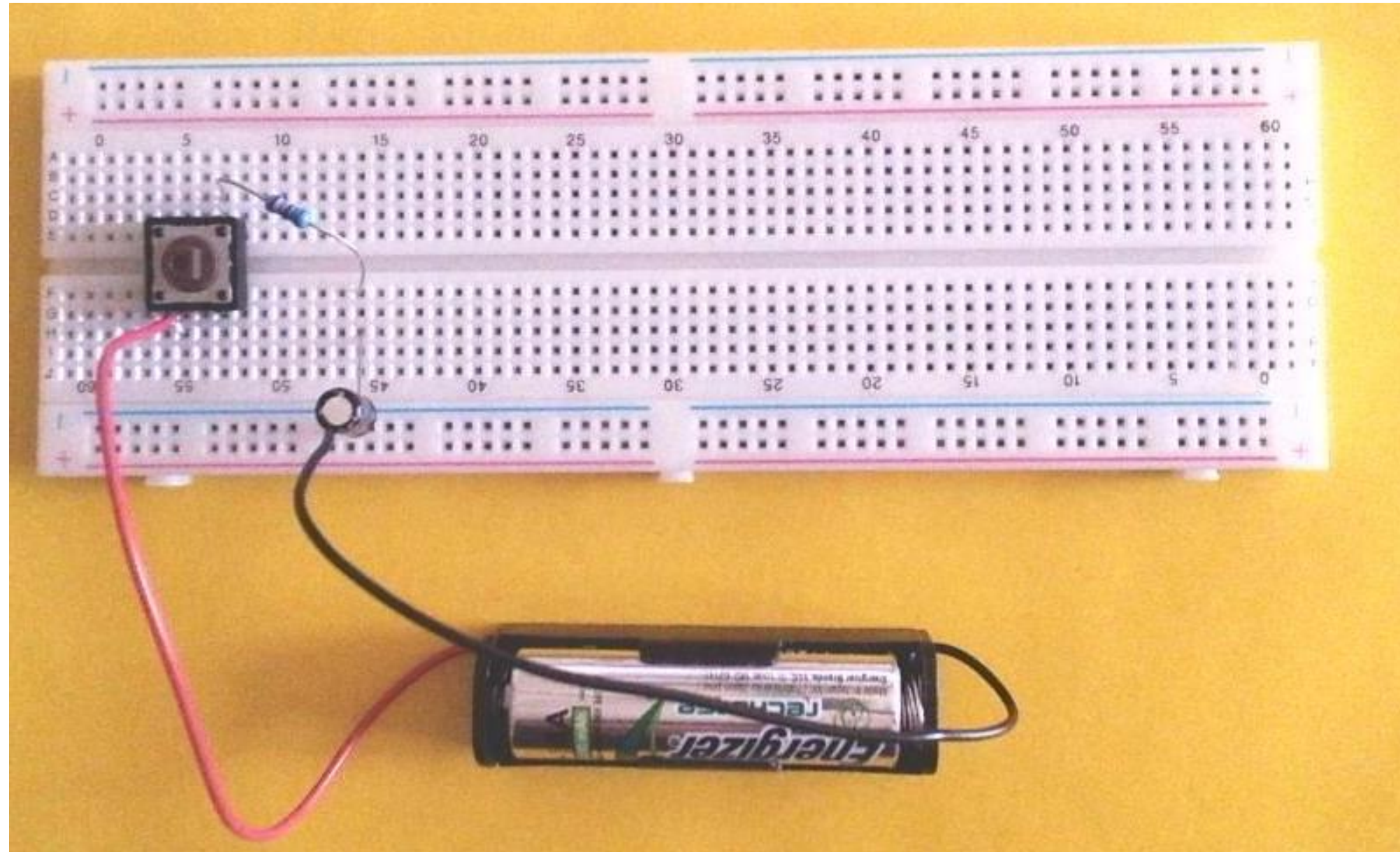
Linearisatie kan indien variatie ten opzichte van het werkpunt beperkt is

PROCESSEN MET TIJDSVERTRAGINGEN: GLOEIEN VAN STAAL

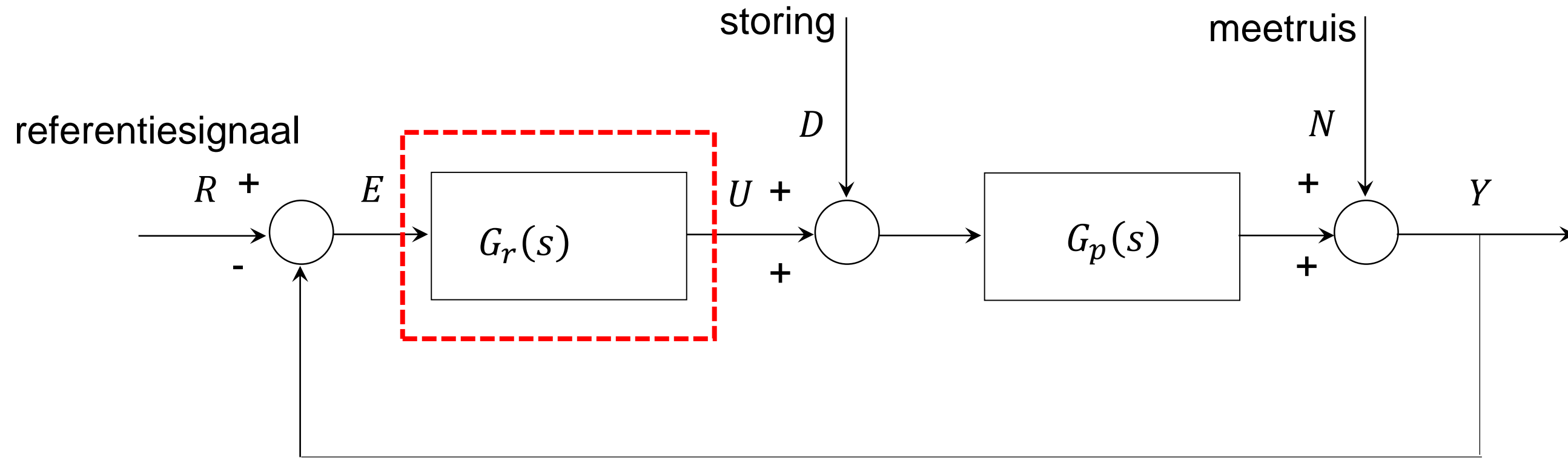


Pauze

DEMO: GENERIEKE DYNAMICA'S



REGELEN VAN PROCESSEN: OVERDRACHTSFUNCTIE



Laplace transformatie

$$\frac{d}{dt} \rightarrow s \quad \int \rightarrow \frac{1}{s} \quad \frac{d^2 y}{dt^2} + 2\zeta\omega_n \frac{dy}{dt} + \omega_n^2 y = K\omega_n^2 u \rightarrow Y(s) = \underbrace{\frac{K\omega_n^2}{s^2 + 2\zeta\omega_n s + \omega_n^2}}_{G(s)} U(s)$$

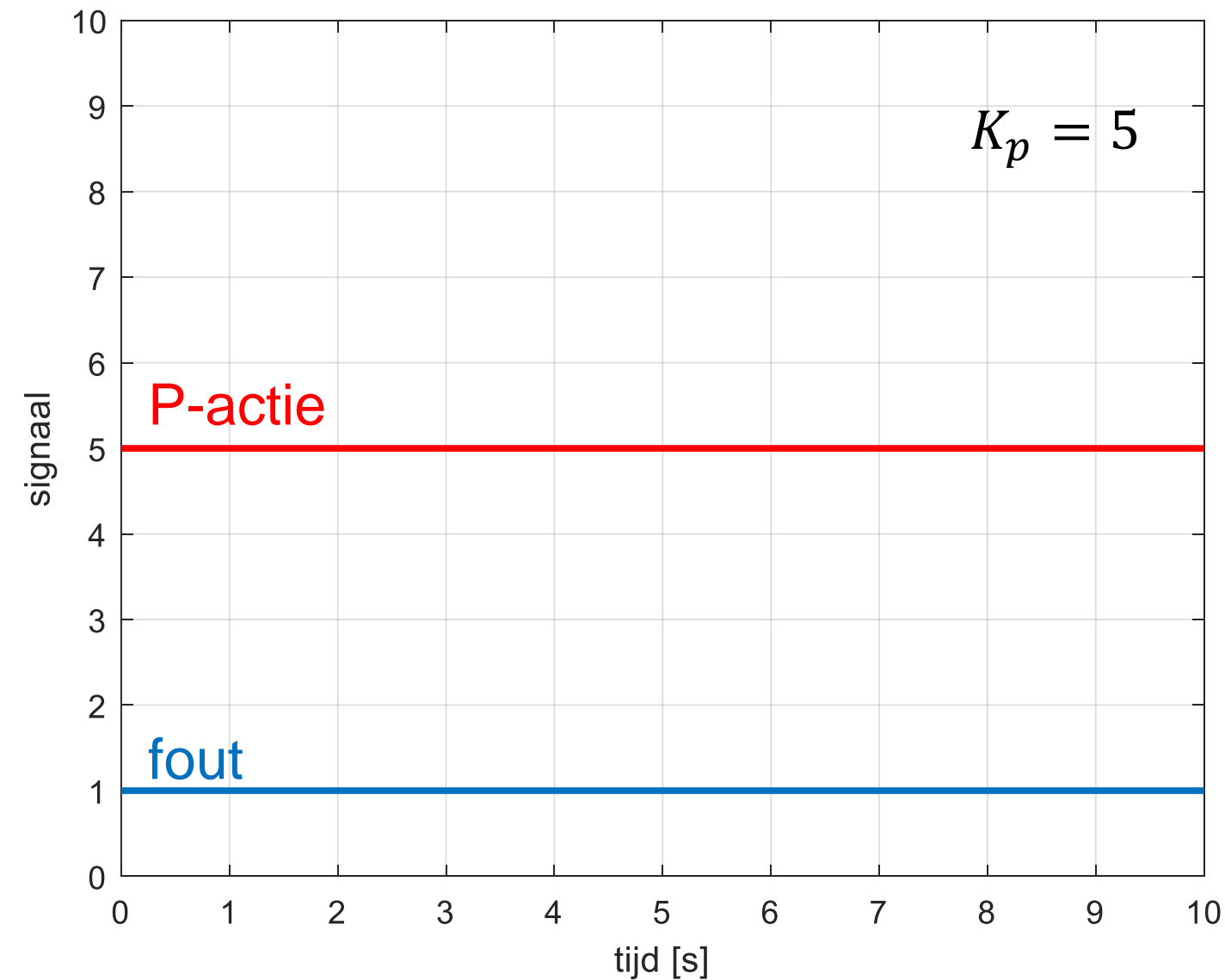
REGELWET: HOE OMGAAN MET DE FOUT?

Proportioneel regelen

$$u = K_p e$$

$$U(s) = K_p E(s) = G_r(s) E(s)$$

P-actie: Versnelt het antwoord



REGELWET: HOE OMGAAN MET DE FOUT?

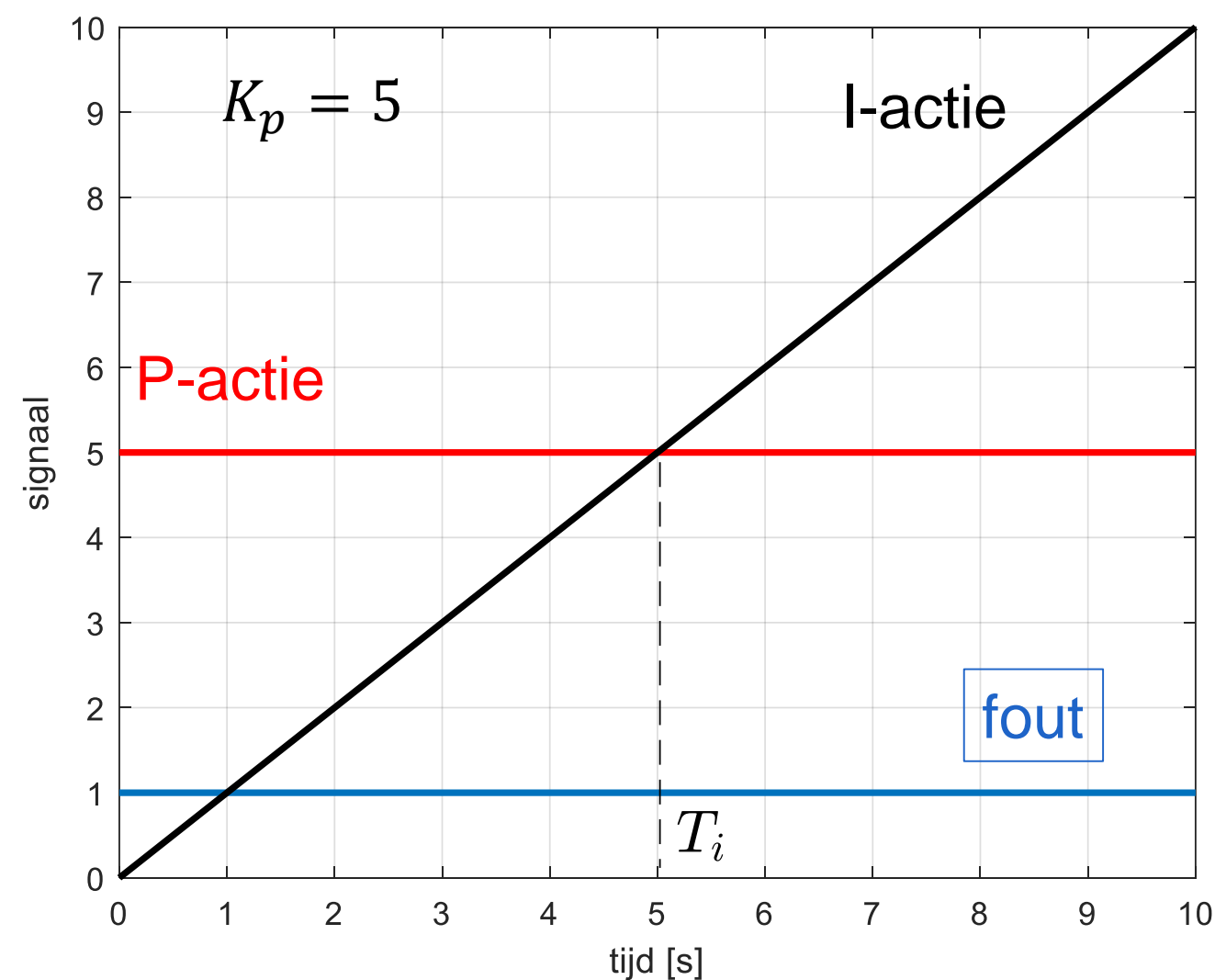
Integrerend regelen

$$\frac{du}{dt} = \frac{K_p}{T_i} e$$

$$u = \frac{K_p}{T_i} \int_0^t e(\theta) d\theta$$

$$U(s) = \frac{K_p}{sT_i} E(s) = G_r(s)E(s)$$

I-actie: Wil de fout wegwerken



REGELWET: HOE OMGAAN MET DE FOUT?

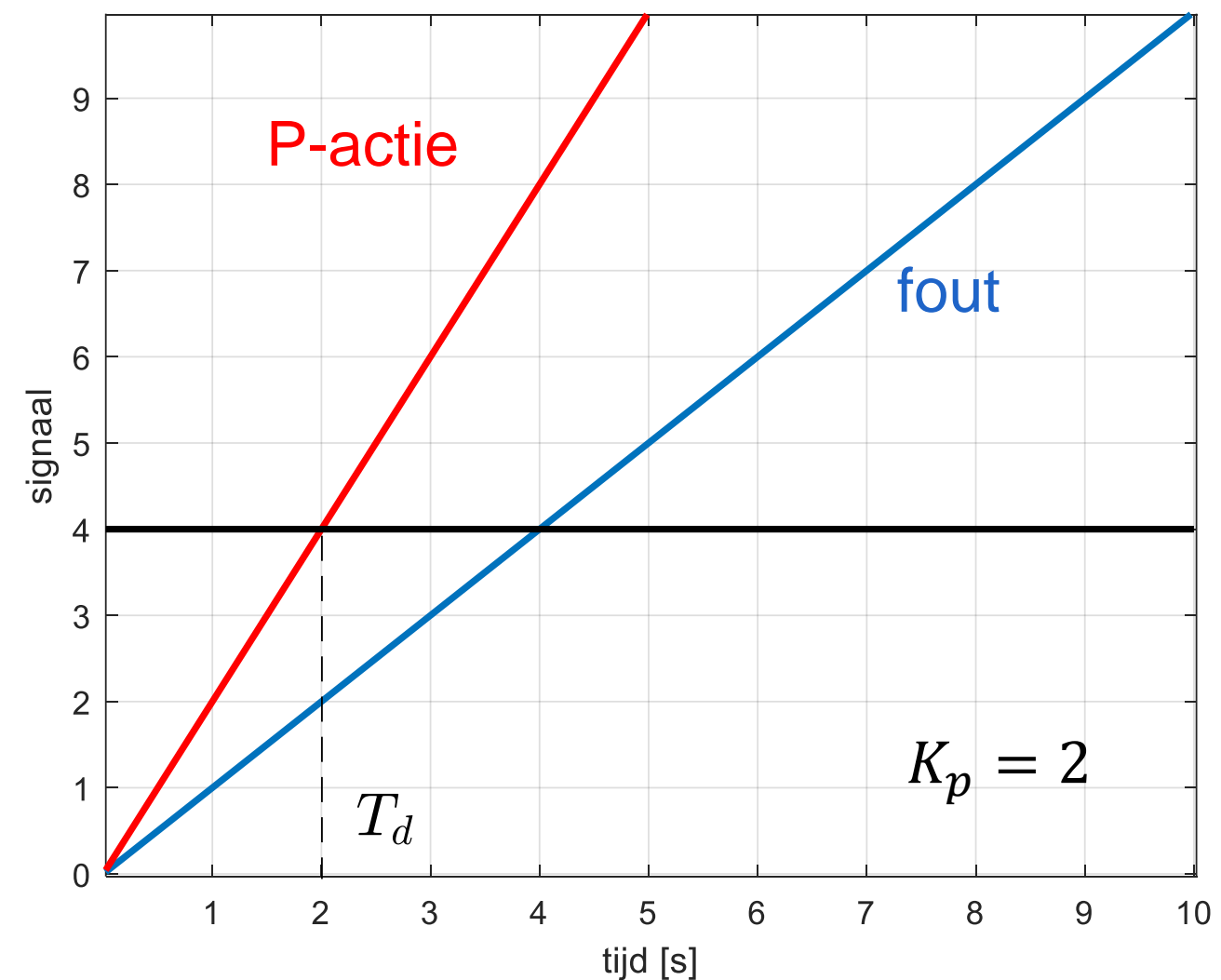
Differentiërend regelen

$$u = K_p T_d \frac{de}{dt}$$

$$U(s) = K_p T_d s E(s) = G_r(s) E(s)$$

D-actie: anticipeert

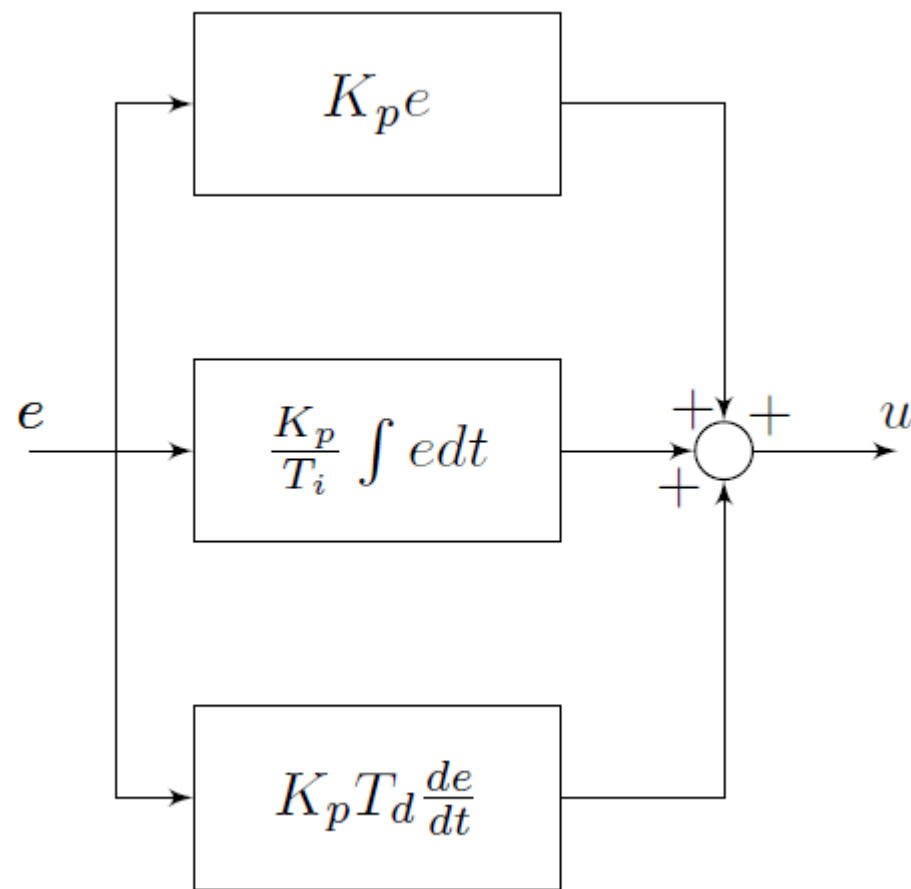
$$e(t + T_d) \approx e(t) + T_d \frac{de}{dt}$$



REGELWET: PID-REGELAAR

Parallele regelaar (ISA-regelaar, Instrument Society of Automation)

$$G_r(s) = K_p \left(1 + \frac{1}{sT_i} + sT_d \right)$$



$$u(t) = K_p \left(e(t) + \frac{1}{T_i} \int_0^t e(\tau) d\tau + T_d \frac{de(t)}{dt} \right)$$

Digitale implementatie

$$u(t) = K_p \left(e(t) + \frac{1}{T_i} \sum_{i=0}^n e(i) t_s + T_d \frac{e(t) - e(t - t_s)}{t_s} \right)$$

REGELWET: PID-REGELAAR: ANDERE UITVOERINGSVORMEN

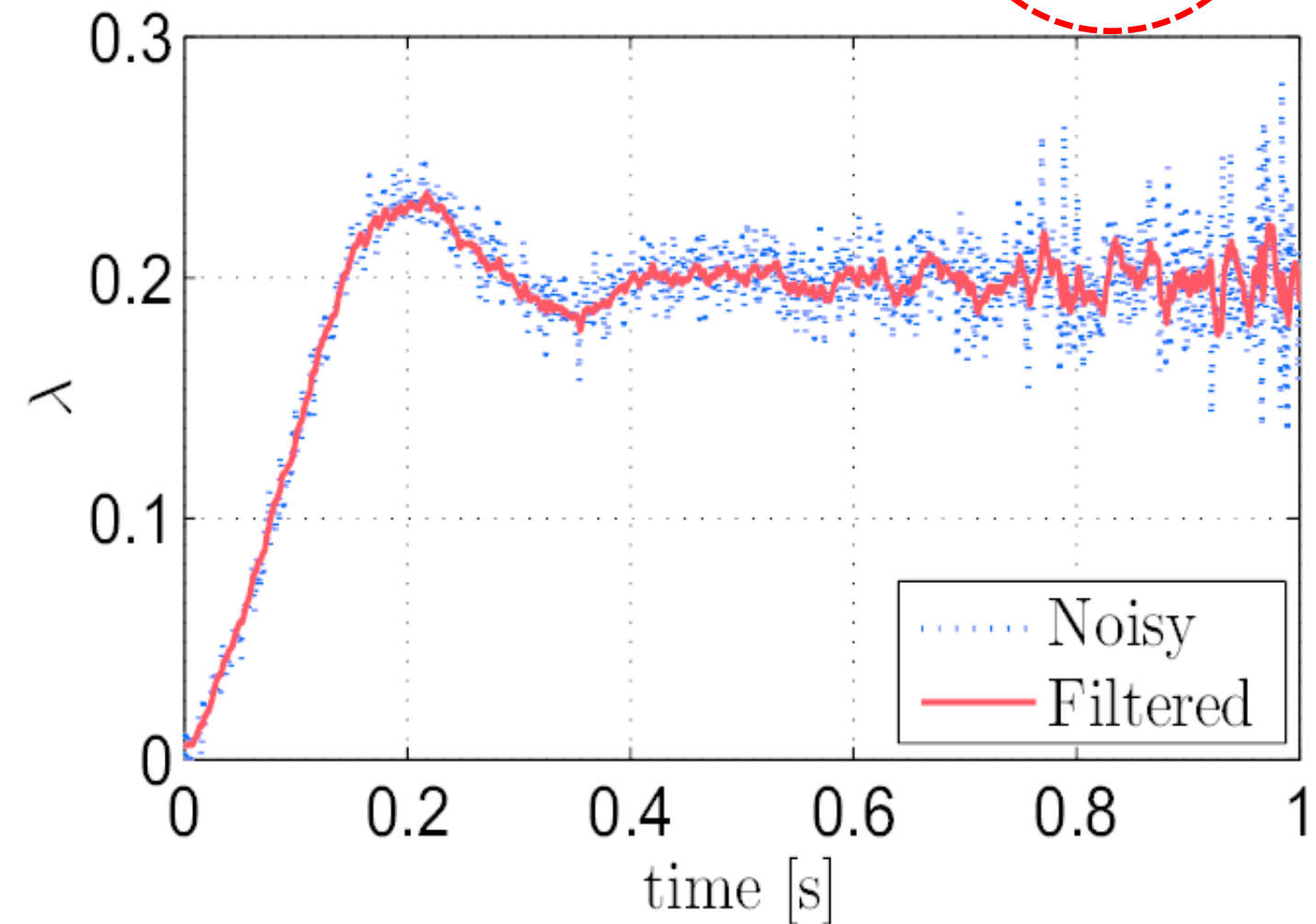
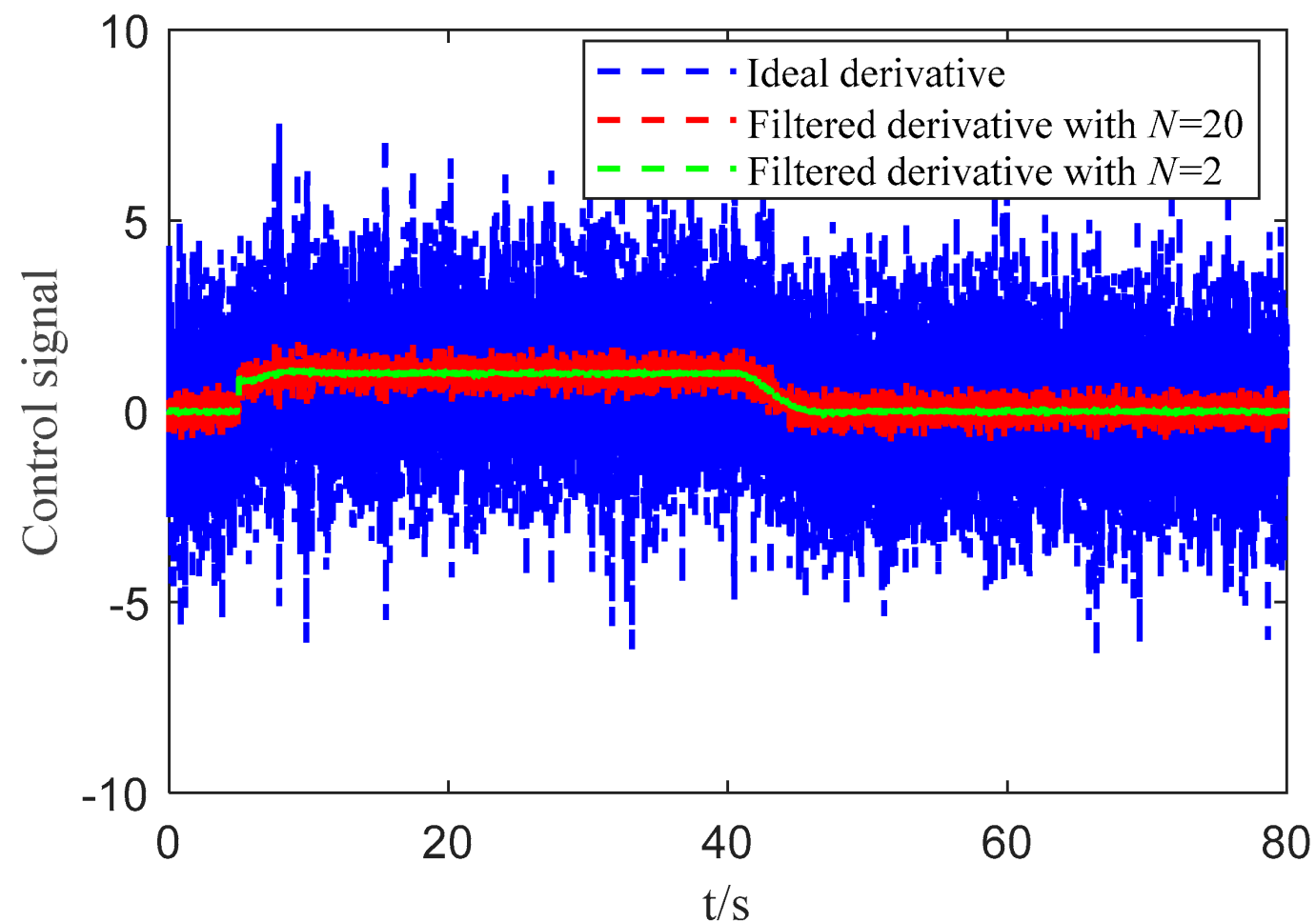
Hoogfrequente ruis => grote afgeleide => grote D-actie

$$A \cdot \sin(\omega_d \cdot t) \quad \omega_d \cdot A \cdot \cos(\omega_d \cdot t)$$

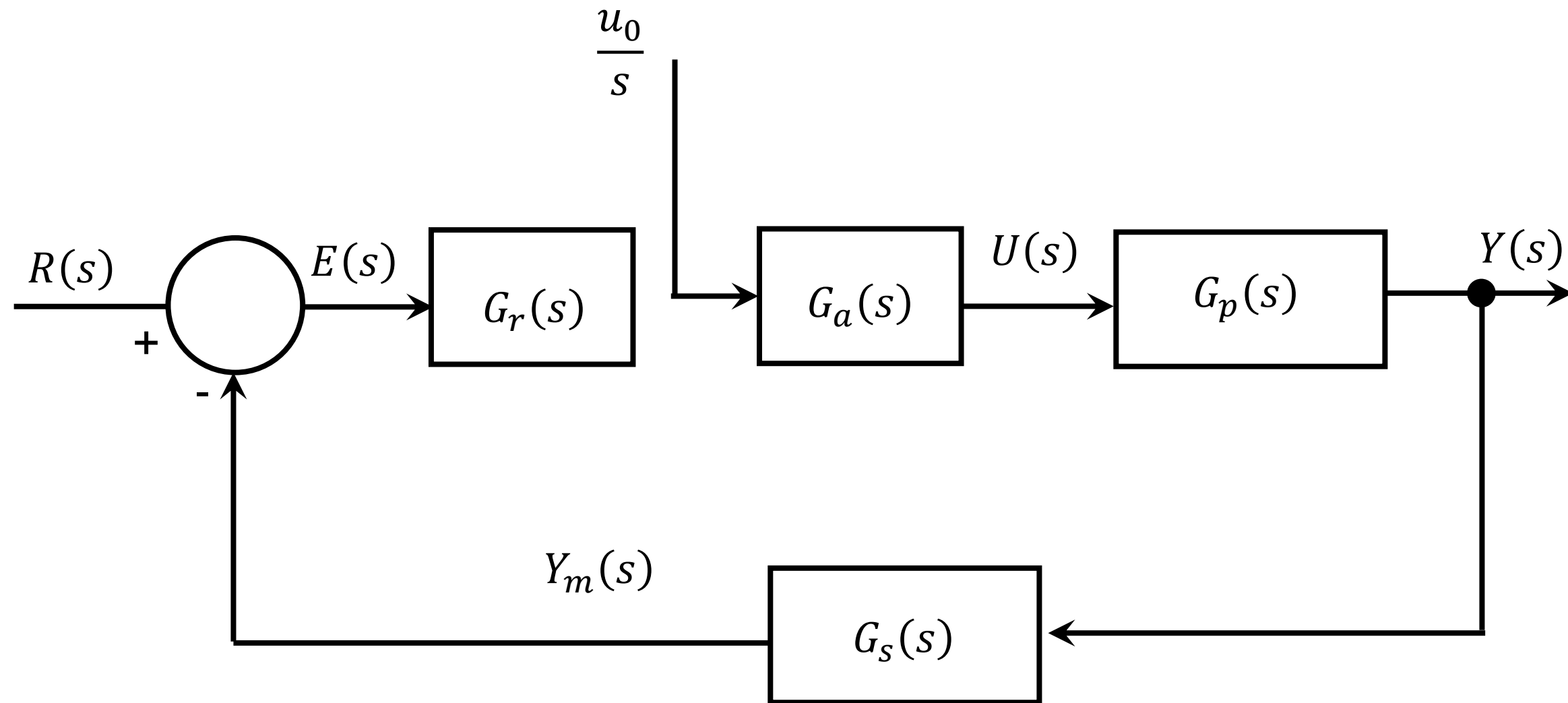
Alternatieve configuratie: gefilterde/Tamme D-acties

Tamme D-actie

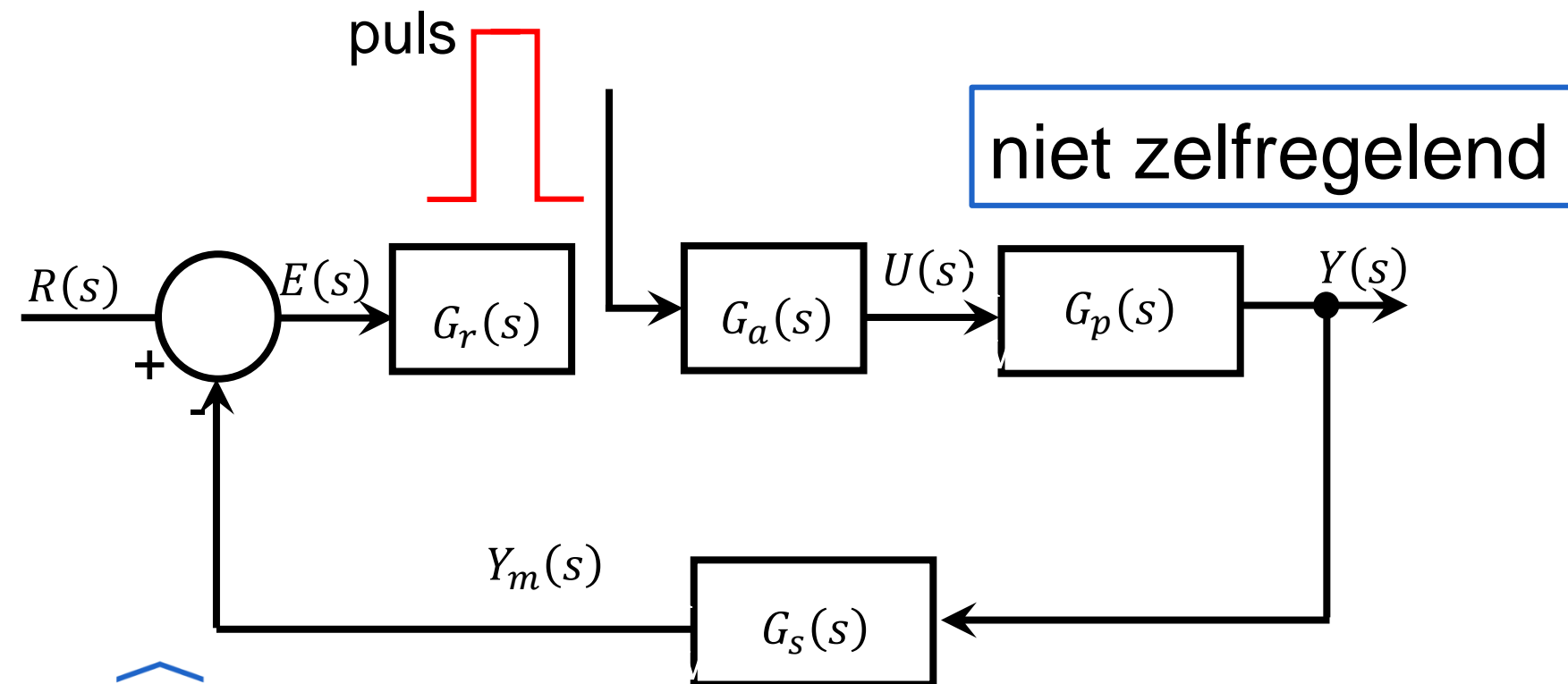
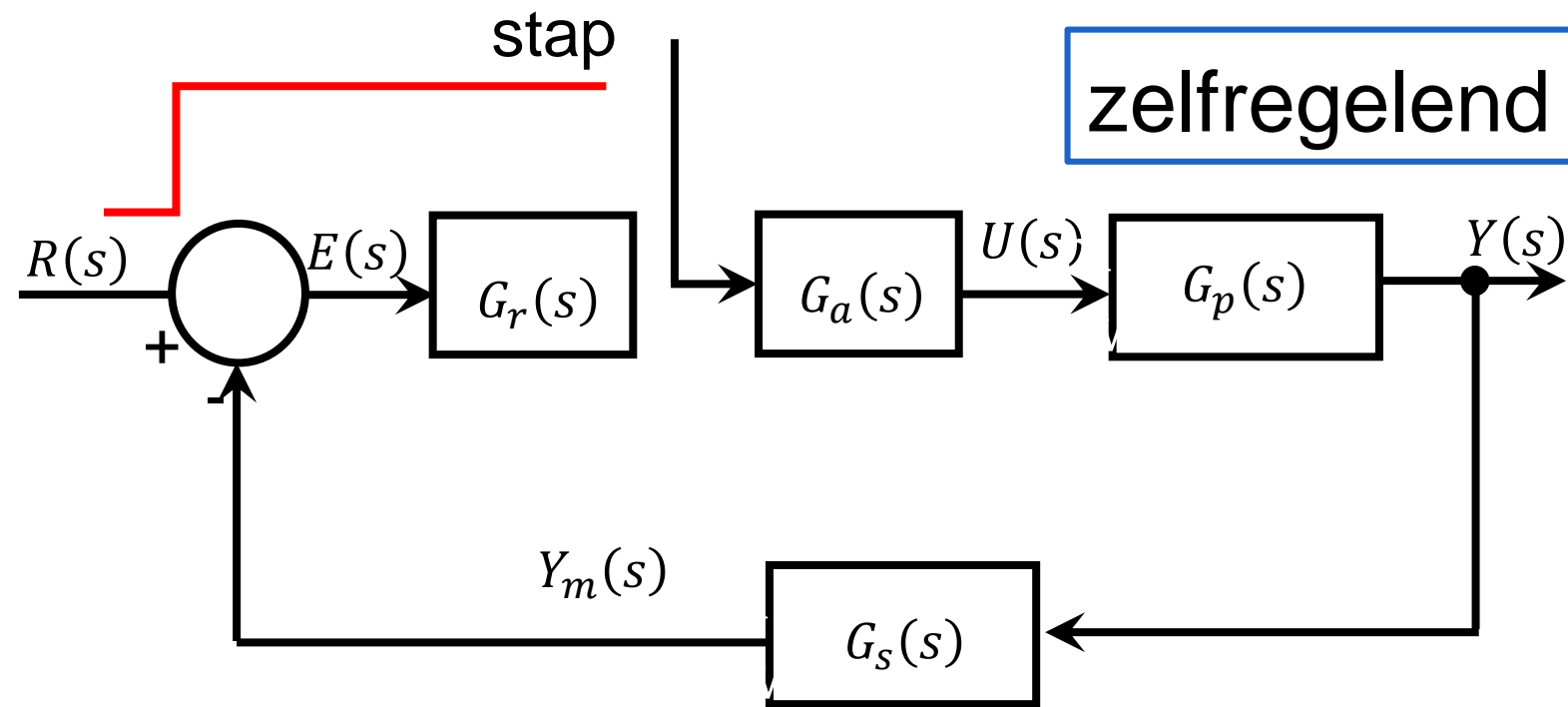
$$G_r(s) = K_c \left(1 + \frac{1}{sT_i} \right) \left(\frac{1 + sT_d}{1 + s\frac{T_d}{N}} \right) \quad N > 1$$



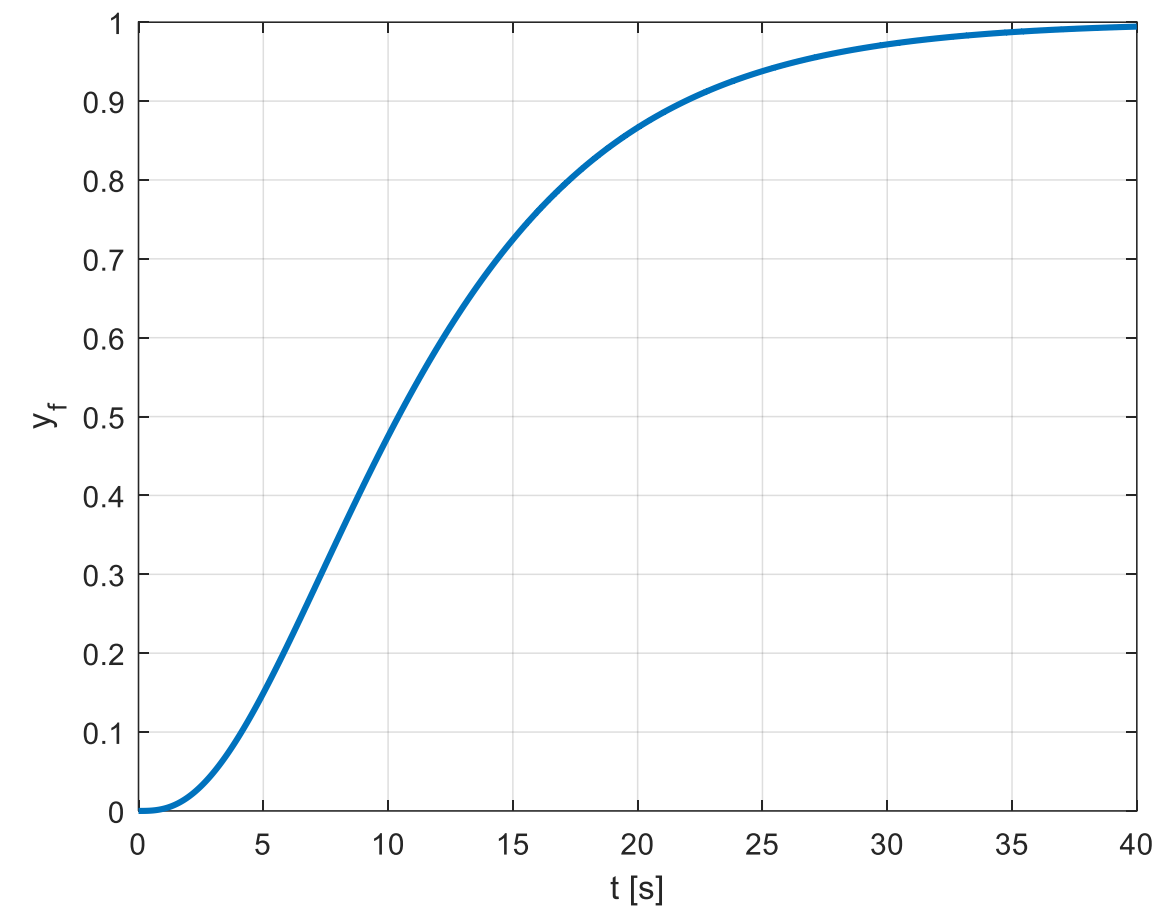
AFSTELLEN: EXPERIMENT: PROCESREACTIE CURVE



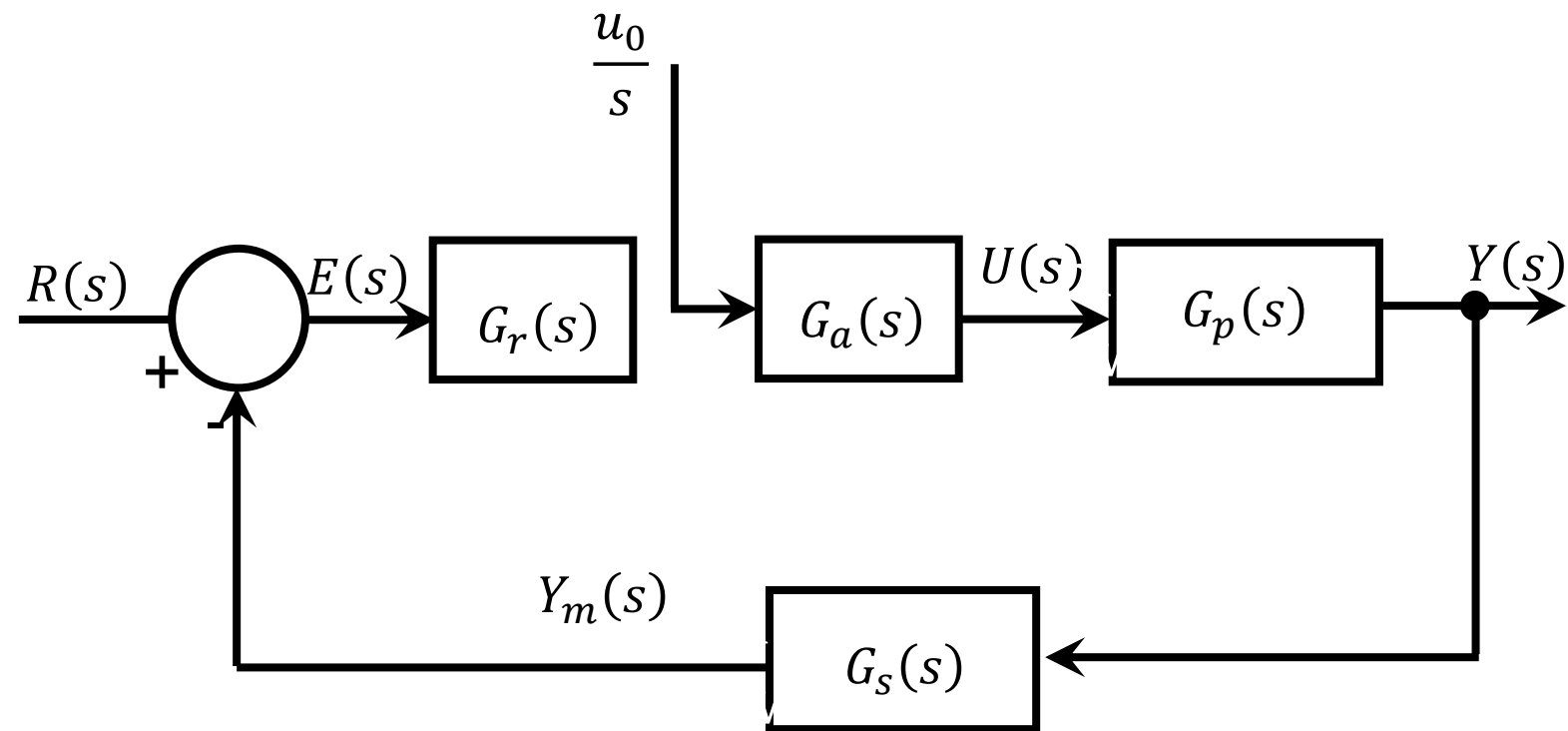
AFSTELLEN: EXPERIMENT: BENADERING



Procesreactie curve

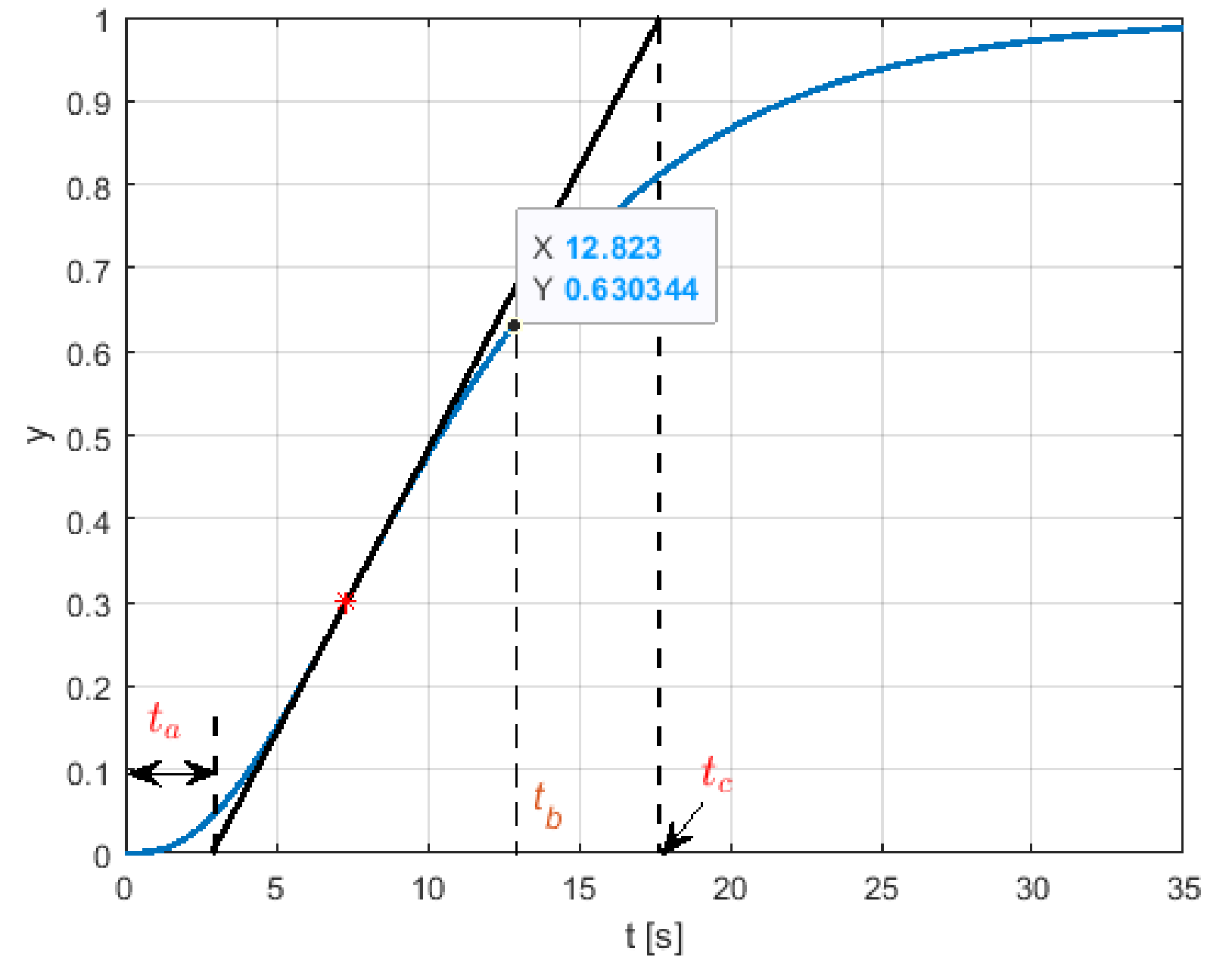


AFSTELLEN: EXPERIMENT: PROCESREACTIE CURVE

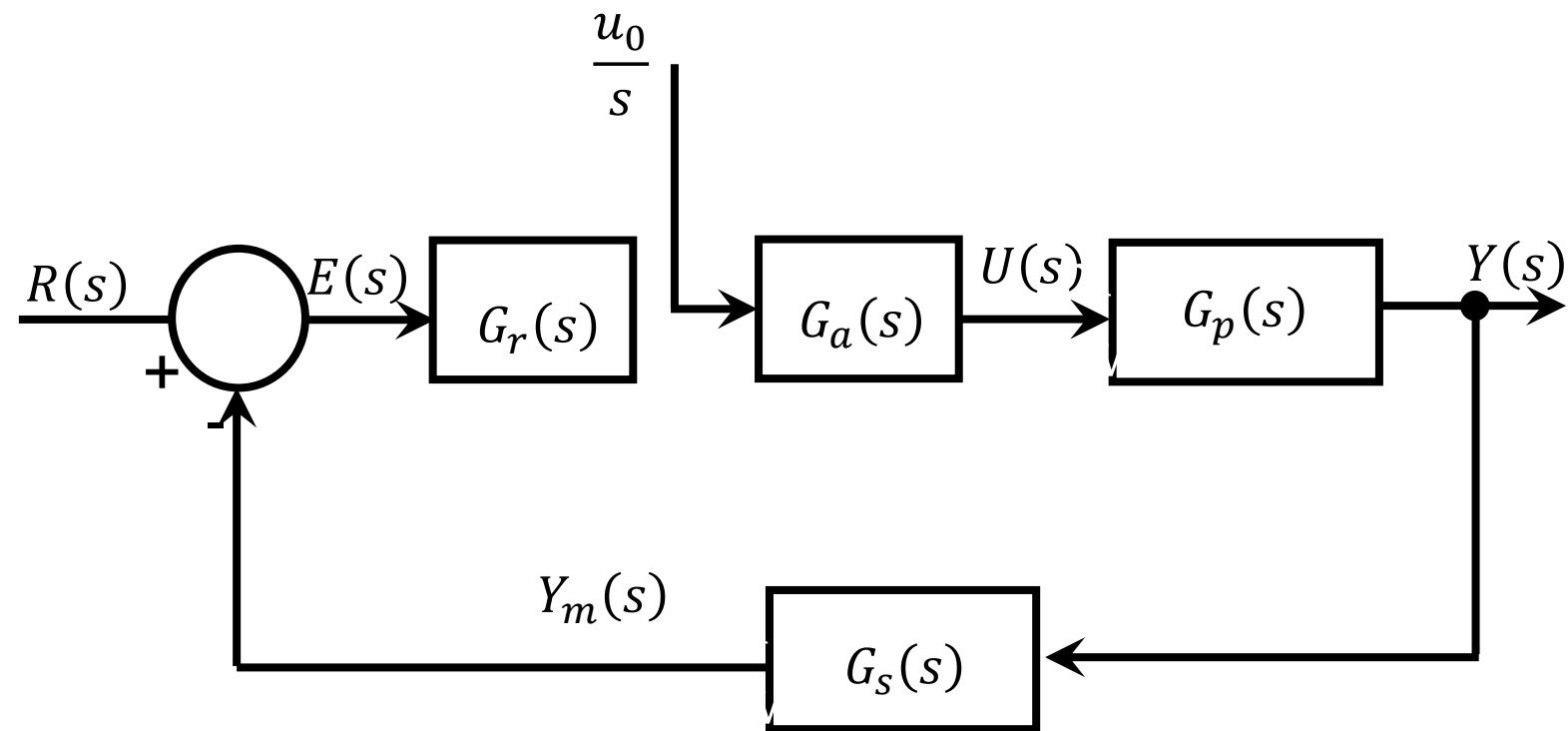


Benadering

$$G_a(s)G_p(s)G_s(s) = \frac{K \exp(-st_d)}{s\tau + 1}$$



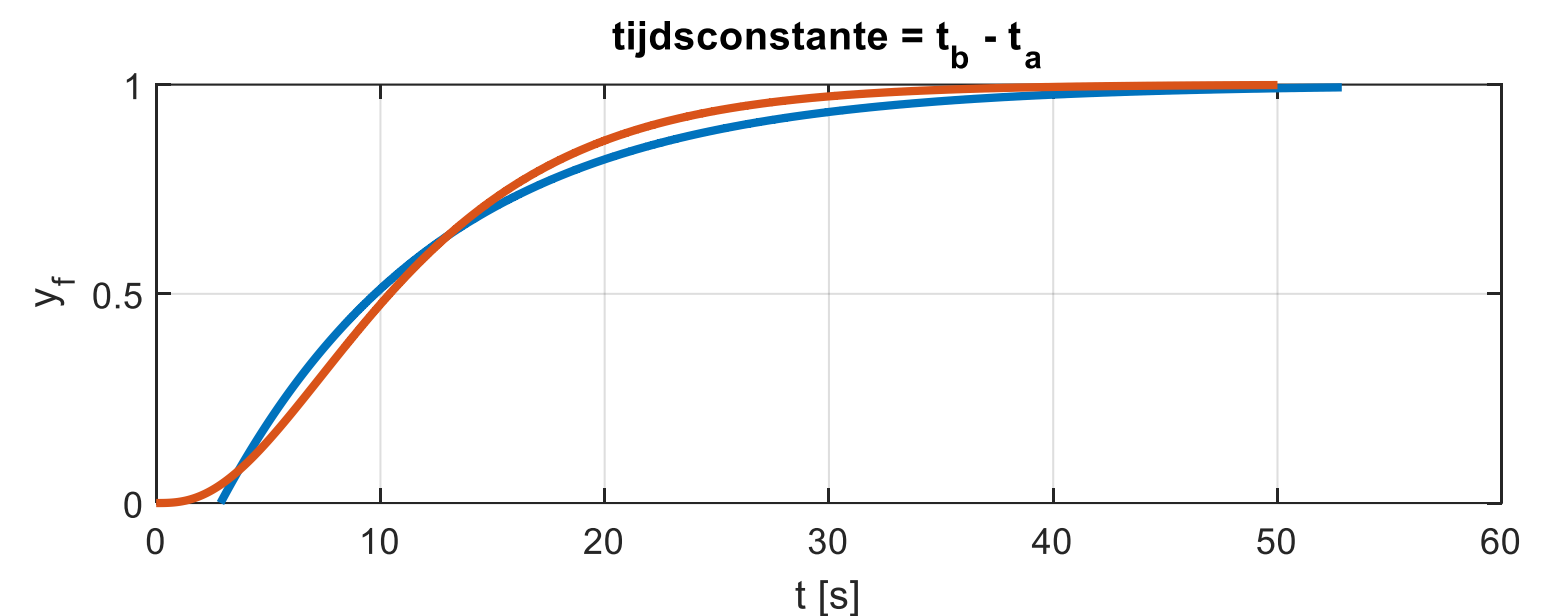
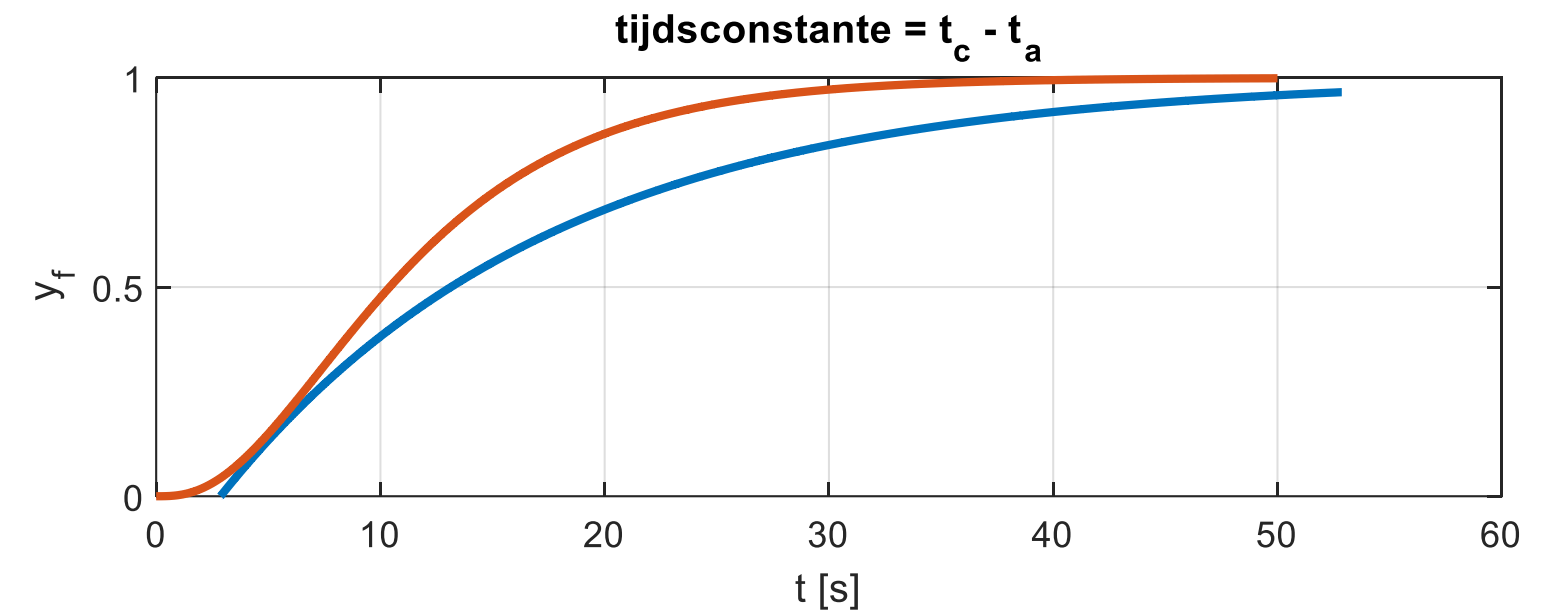
AFSTELLEN: EXPERIMENT: PROCESREACTIE CURVE



$\tau = t_c - t_a$	$\tau = t_b - t_a$
$\tau = 14.83s$	$\tau = 9.95s$
$t_d = 2.87s$	$t_d = 2.87$
$K = 1$	$K = 1$

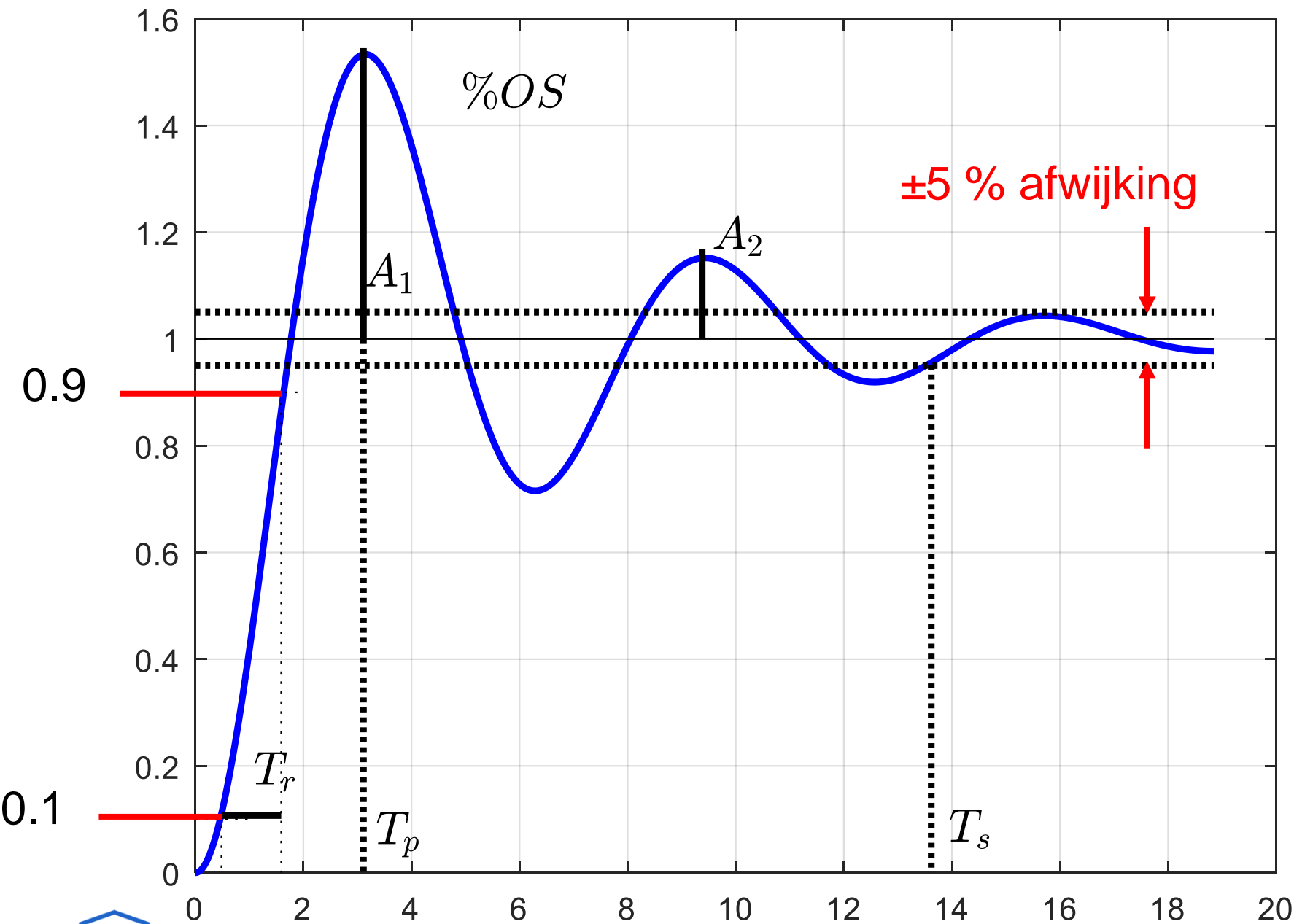
Raaklijn: richtingscoëfficiënt R

$$R = \frac{K}{t_c - t_a}$$



REGELEN VAN PROCESSEN: KWALITEIT VAN DE REGELING

Overgangsgedrag



Regime gedrag

Wenswaarde=1

Blijvende fout



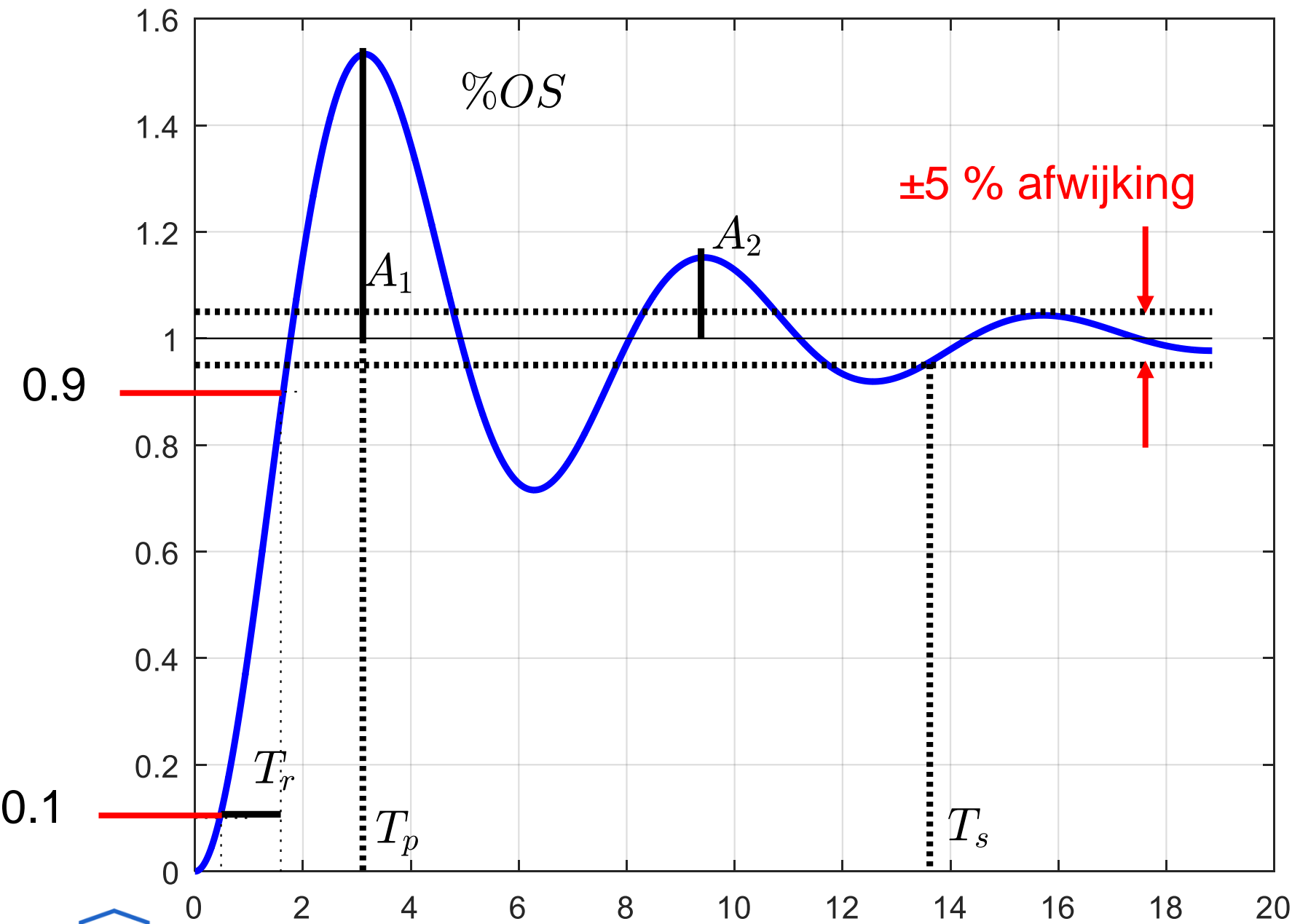
Eerste-orde proces + P-regelaar

REGELEN VAN PROCESSEN: KWALITEIT VAN DE REGELING

Overgangsgedrag

Regime gedrag

Wenswaarde=1
Geen blijvende fout



Eerste-orde proces + PI-regelaar

Ziegler-Nichols afstelregels procesreactie curve

regelaar	K_c	T_i	T_d
P	$K_c = \frac{1}{RL}$		
PI	$K_c = \frac{0.9}{RL}$	$T_i = \frac{L}{0.3}$	
PID	$K_c = \frac{1.2}{RL}$	$T_i = 2L$	$T_d = 0.5L$

Raaklijn: richtingscoëfficiënt R

Lag: dode tijd

$$L = t_d$$

$$R = \frac{K}{t_c - t_a}$$

Oorsprong: storingsonderdrukking, na 1 periode daling tot 25% van maximum
Volgt uit simulatie van veel verschillende processen

Afstelregels: vaak focus op monotone stapantwoorden

$$G_m(s) = \frac{K_m e^{-s\tau_m}}{1 + sT_m}$$

Rule	K_c	T_i	Comment
Hazebroek and Van der Waerden (1950) – continued.	$\frac{T_m}{K_m \tau_m} \left(0.5 \frac{\tau_m}{T_m} + 1 \right)$	$\frac{\tau_m^2}{1.6\tau_m - 1.2T_m}$	$\tau_m/T_m > 3.5$
Oppelt (1951). <i>Model: Method 2</i>	$^3 K_c$	$1.66\tau_m$	$\tau_m \gg T_m$
		$3.32\tau_m$	$\tau_m \ll T_m$
Moros (1999). <i>Model: Method 1</i>	$0.8T_m/K_m \tau_m$	$3\tau_m$	Attributed to Oppelt.
	$0.91T_m/K_m \tau_m$	$3.3\tau_m$	Attributed to Rosenberg.
Chien <i>et al.</i> (1952). <i>Model: Method 2</i> ; $0.1 < \tau_m/T_m < 1.0$.	Regulator		
	$0.6T_m/K_m \tau_m$	$4\tau_m$	0% overshoot.
	$0.7T_m/K_m \tau_m$	$2.33\tau_m$	20% overshoot.
	Servo		
	$0.35T_m/K_m \tau_m$	$1.17T_m$	0% overshoot.
	$0.6T_m/K_m \tau_m$	T_m	20% overshoot.

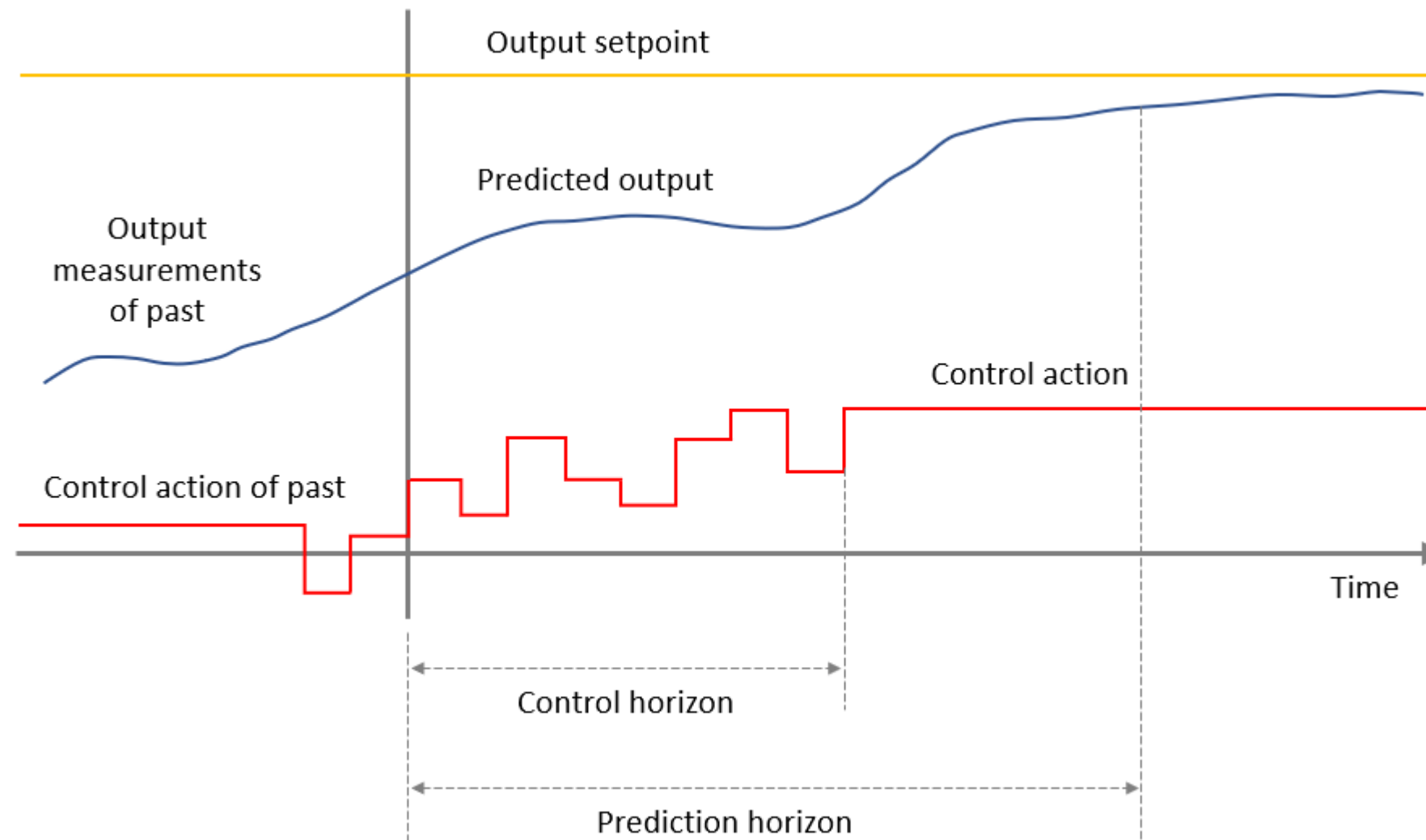
Handbook of PI and PID tuning rules, Aiden O’Dwyr, Dublin Institute of technology

Karl Johan Åstrom and Tore Hägglund, Lund Institute of Technology, Zweden

REGELEN VAN PROCESSEN: MPC:

MPC :
regelen met terugkoppeling
regelen van meerdere uitgangen met behulp van meerdere ingangen
optimalisatie in reële tijd
voorspelling van de toekomst om in het heden te beslissen

Het concept van voorspellen



Voorspelling van de procesuitgang
Optimalisatie van de stuuractie
over een predictie horizon om de
uitgang dichterbij de wenswaarde
of gewenst traject te krijgen

REGELEN VAN PROCESSEN: MPC:

Procesmodel (via identificatie)

$$x(k+1) = Ax(k) + Bu(k)$$

x toestandsvector

u stuurvector

begrenzungen

$$U_{min} \leq u_i(k) \leq U_{max} \quad \text{Bvb: saturatie}$$

$$X_{min} \leq x_i(k) \leq X_{max} \quad \text{Bvb: niveau beperking}$$

Kostfunctie: vaak kwadratisch

$$J = \frac{1}{2} \sum_{k=0}^N x^T(k) Q x(k) + \frac{1}{2} \sum_{k=0}^{M-1} u^T(k) R u(k)$$

Initialisatie $x(0)$

Optimalisatie een kort tijdsvenster

$$u_{opt} = \{u_{opt}(0), u_{opt}(1), \dots, u_{opt}(M)\}$$

$$x_{opt} = \{x_{opt}(0), x_{opt}(1), \dots, x_{opt}(N)\}$$

stuuractie

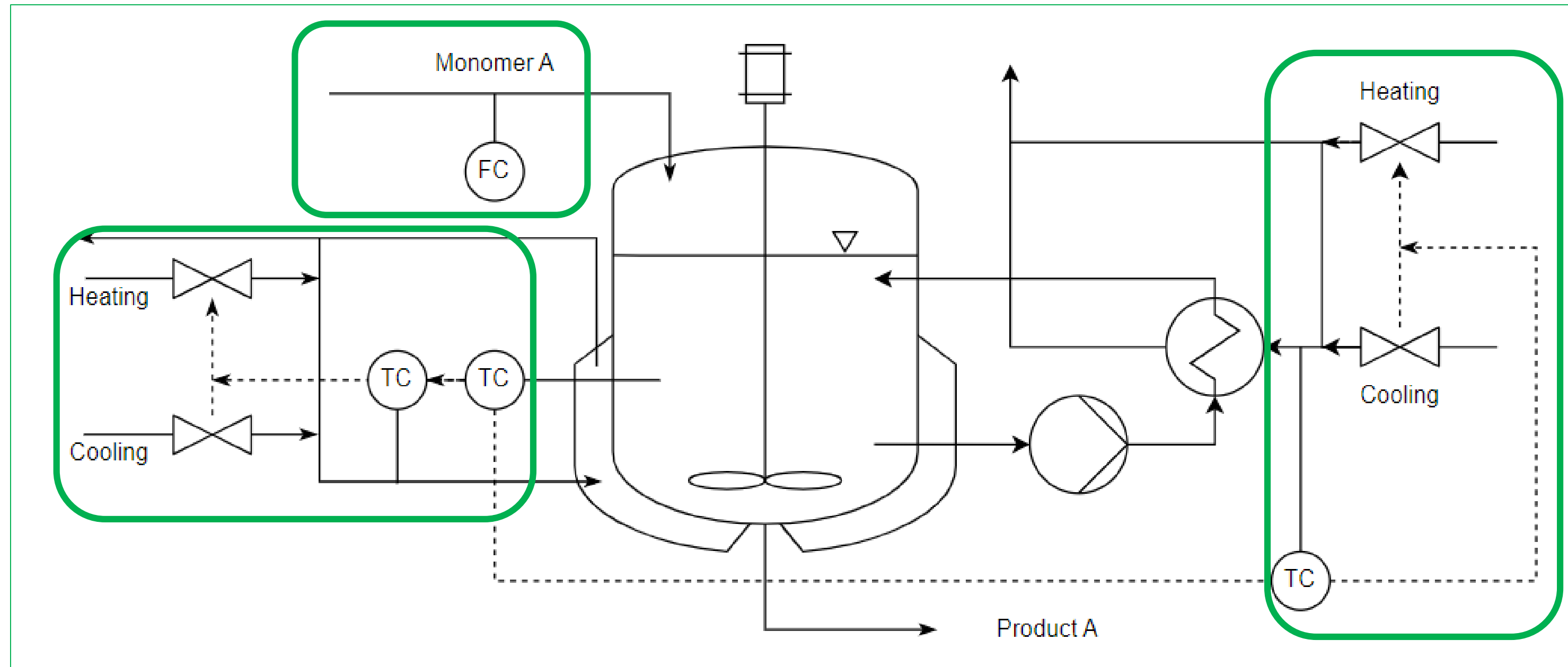
enkel $u_{opt}(0)$ wordt effectief gebruikt

$$\Rightarrow x(1)$$

Alles opnieuw, venster verschuift met 1 tijdstap

PROCESS: INDUSTRIAL POLYMERISATION REACTOR

Input



MODEL THROUGH CONSERVATION

Parameter uncertainty

$$\begin{aligned}
 \dot{m}_W &= \dot{m}_F \omega_{W,F} \\
 \dot{m}_A &= \dot{m}_F \omega_{A,F} - k_{R1} m_{A,R} - k_{R2} m_{AWT} m_A / m_{ges}, \\
 \dot{m}_P &= k_{R1} m_{A,R} + p_1 k_{R2} m_{AWT} m_A / m_{ges}, \\
 \dot{T}_R &= 1/(c_{p,R} m_{ges}) [\dot{m}_F c_{p,F} (T_F - T_R) + \Delta H_R k_{R1} m_{A,R} - k_K A (T_R - T_S) \\
 &\quad - \dot{m}_{AWT} c_{p,R} (T_R - T_{EK})], \\
 \dot{T}_S &= 1/(c_{p,S} m_S) [k_K A (T_R - T_S) - k_K A (T_S - T_M)], \\
 \dot{T}_M &= 1/(c_{p,W} m_{M,KW}) [\dot{m}_{M,KW} c_{p,W} (T_M^{IN} - T_M) \\
 &\quad + k_K A (T_S - T_M)] + k_K A (T_S - T_M), \\
 \dot{T}_{EK} &= 1/(c_{p,R} m_{AWT}) [\dot{m}_{AWT} c_{p,W} (T_R - T_{EK}) - \alpha (T_{EK} - T_{AWT}) \\
 &\quad + k_{R2} m_A m_{AWT} \Delta H_R / m_{ges}], \\
 \dot{T}_{AWT} &= [\dot{m}_{AWT,KW} c_{p,W} (T_{AWT}^{IN} - T_{AWT}) - \alpha (T_{AWT} - T_{EK})] / (c_{p,W} m_{AWT,KW}),
 \end{aligned}$$

$$m_F^{acc} = \dot{m}_F$$

$$T_{adiab} = \frac{\Delta H_R}{c_{p,R}} \frac{m_A}{m_A + m_W + m_P} + T_R$$

$$\begin{aligned}
 U &= m_P / (m_A + m_P), \\
 m_{ges} &= m_W + m_A + m_P, \\
 k_{R1} &= k_0 e^{\frac{-E_a}{R(T_R + 273.15)}} (k_{U1} (1 - U) + k_{U2} U), \\
 k_{R2} &= k_0 e^{\frac{-E_a}{R(T_{EK} + 273.15)}} (k_{U1} (1 - U) + k_{U2} U), \\
 k_K &= (m_W k_{WS} + m_A k_{AS} + m_P k_{PS}) / m_{ges}, \\
 m_{A,R} &= m_A - m_A m_{AWT} / m_{ges}.
 \end{aligned}$$

CONSTRAINTS

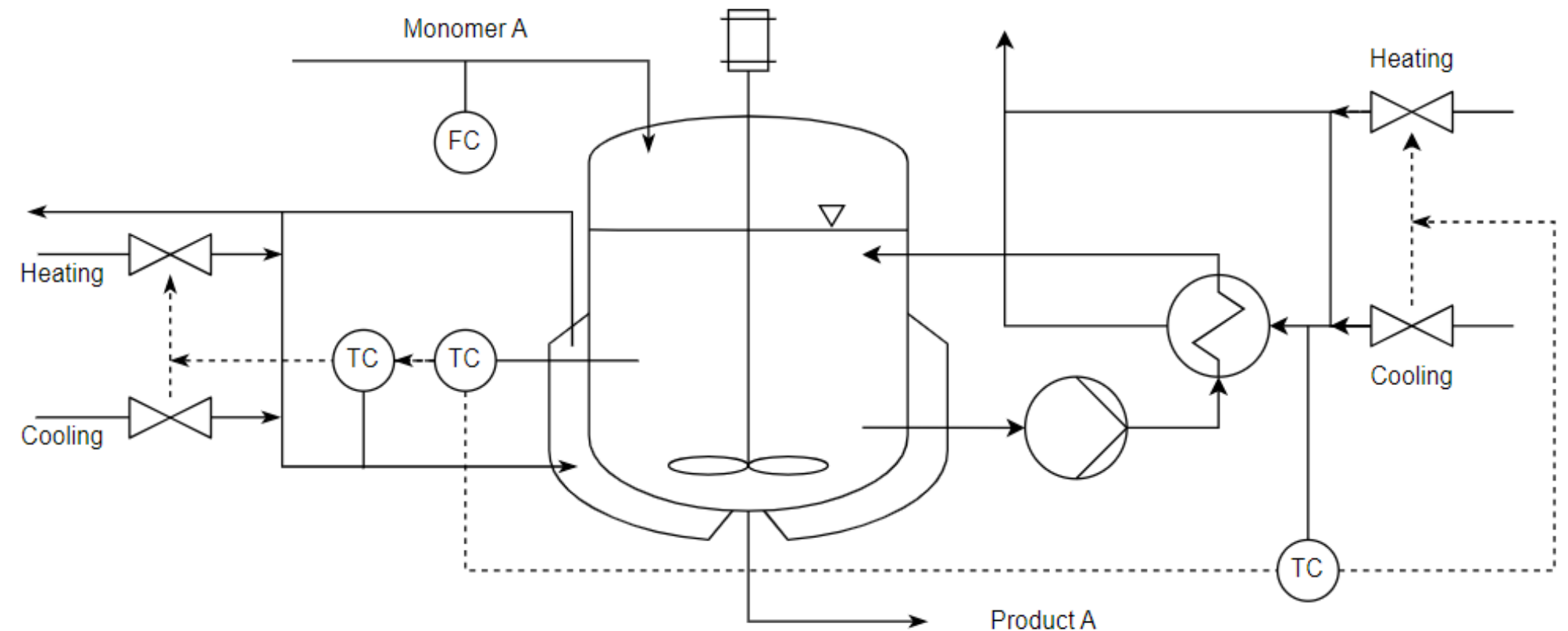
Control	Min.	Max.	Unit
\dot{m}_F	0	30,000	kg h ⁼⁻¹
T_M^{IN}	60	100	°C
T_{AWT}^{IN}	60	100	°C

State	Init. cond.	Min.	Max.	Unit
m_W	10,000	0	inf.	kg
m_A	853	0	inf.	kg
m_P	26.5	0	inf.	kg
T_R	90.0	$T_{set} - 2.0$	$T_{set} + 2.0$	°C
T_S	90.0	0	100	°C
T_M	90.0	0	100	°C
T_{EK}	35.0	0	100	°C
T_{AWT}	35.0	0	100	°C
T_{adiab}	104.897	0	109	°C
m_F^{acc}	0	0	30,000	kg

OBJECTIVE

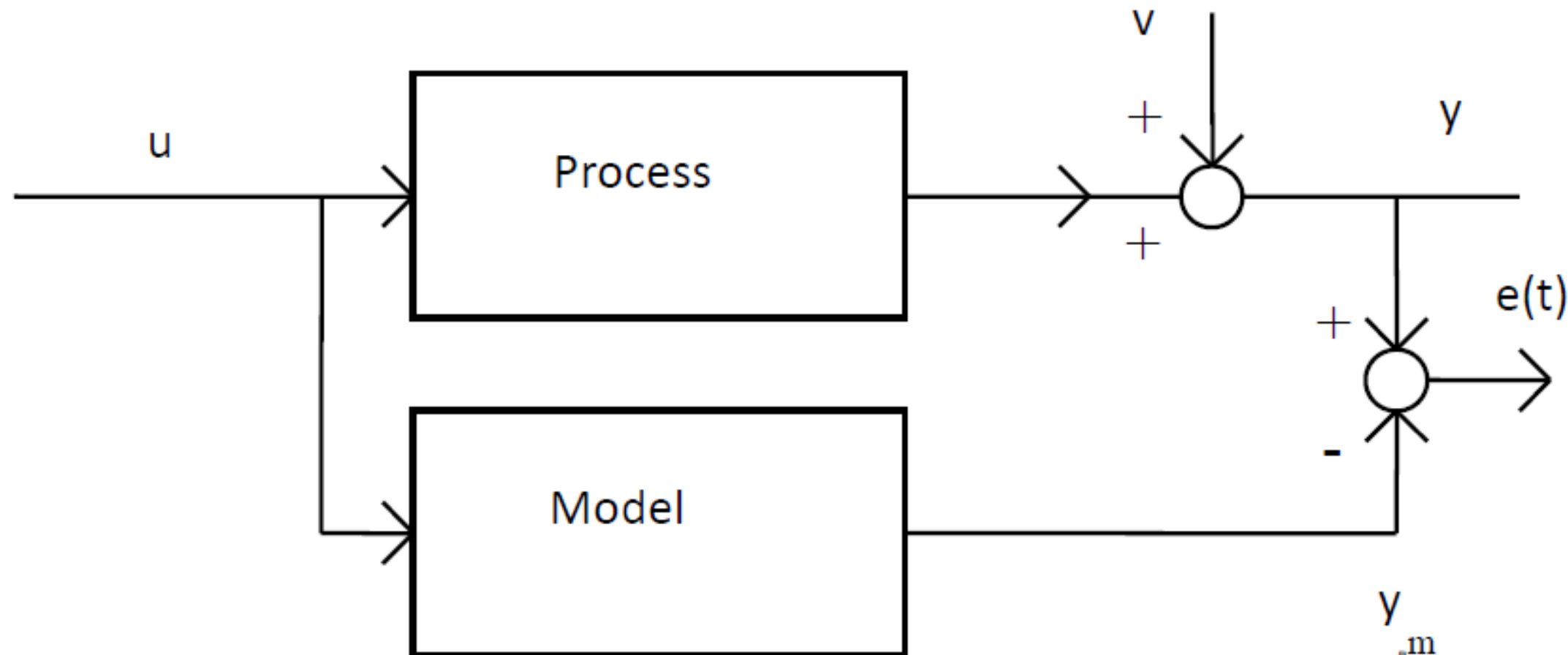
- Produce $m_P = 20680 \text{ kg}$ as fast as possible
- Smooth control performance: penalty on input changes

$$J(x, u, z) = \sum_{k=0}^N \left(\underbrace{l(x_k, z_k, u_k, p_k, p_{tv,k})}_{\text{Lagrange term}} + \underbrace{\Delta u_k^T R \Delta u_k}_{\text{r-term}} \right) + \underbrace{m(x_{N+1})}_{\text{Mayer term}}$$



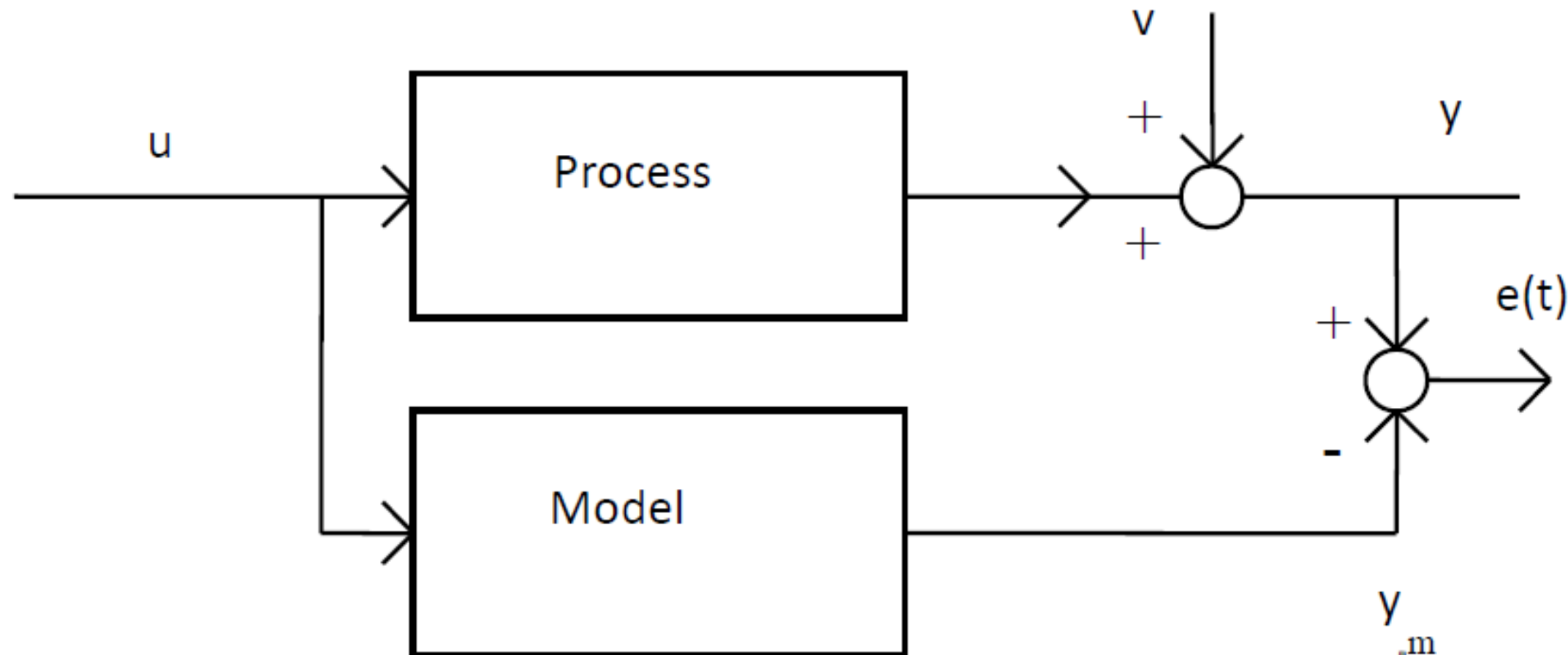
SYSTEM IDENTIFICATIE

- MPC steunt op accuraat model
- Opstellen behoud/krachtwetten=> 'White box identification'
- Via Data => 'Black box identification'
- Mix!

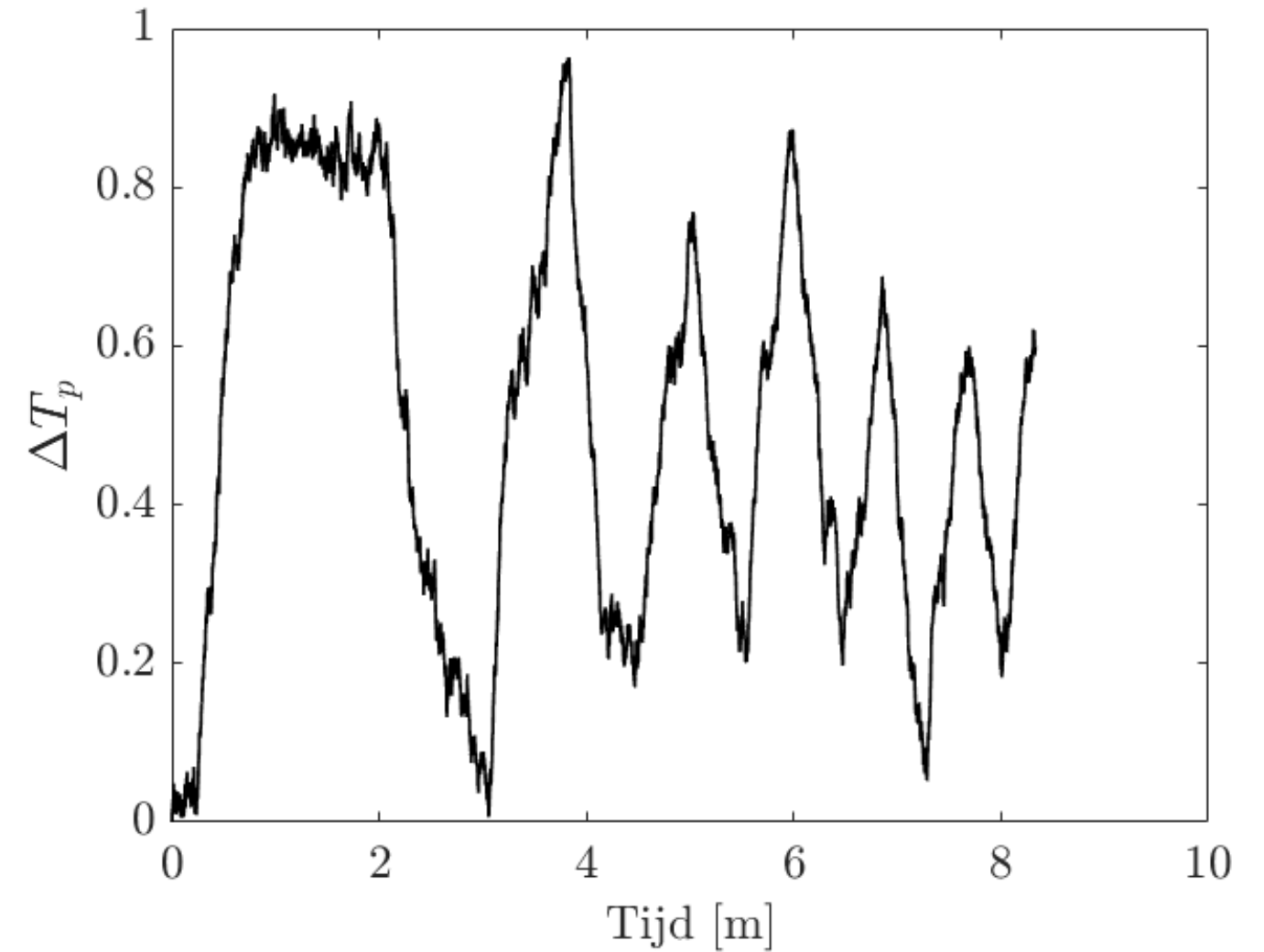
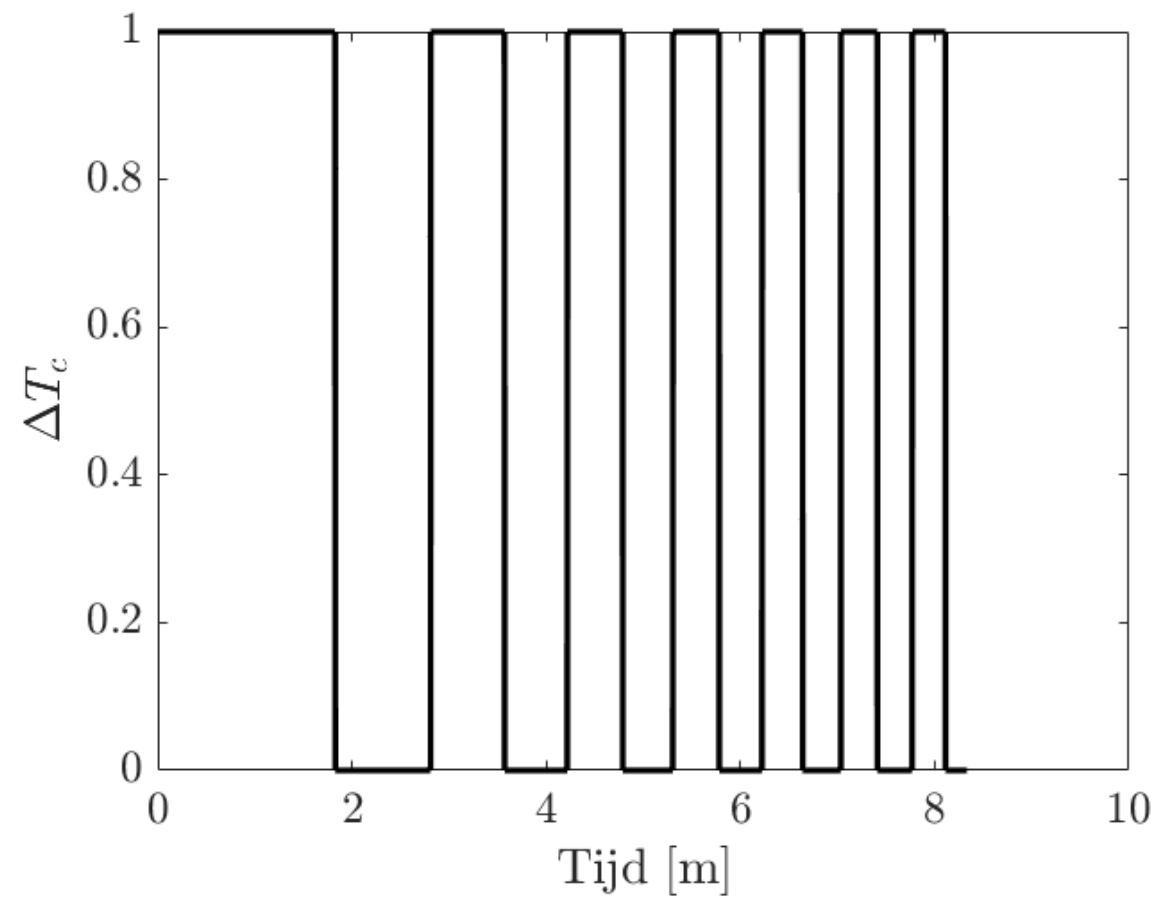


SYSTEM IDENTIFICATIE

- MPC steunt op accuraat model
- Opstellen behoud/krachtwetten=> 'White box identification'
- Via Data => 'Black box identification'
- Mix!



SYSTEM IDENTIFICATION



Ingang signaal: Daag systeem voldoende uit

- Verschillende werkingpunten
- Snelheden

Uitgang

- Type process?
- Tijdsvertraging

SYSTEM IDENTIFICATIE

- Via discrete metingen, vind parameters model met beste fit via optimalisatie
- ARX Model: $A(q^{-1})y(t) = B(q^{-1})u(t - d) + e(t)$

$$\begin{aligned} & y(t) + a_1y(t - 1) + a_2y(t - 2) + \dots + a_{n_a}y(t - n_a) \\ &= b_0u(t - d) + b_1u(t - d - 1) \dots + b_{n_b}b(t - d - n_b) + e(t) \end{aligned}$$

$$y(t) = \varphi(t)\theta + e(t)$$

$$\varphi(t) = [-y(t - 1) \dots - y(t - n_a) \ u(t - d) \dots u(t - d - n_b)]$$

$$\theta = [a_1 \ a_2 \ \dots \ a_{n_a} \ b_1 \ b_2 \ \dots \ b_{n_b}]$$

SYSTEM IDENTIFICATIE : OPTIMALISATIE

- Parameterschatting = optimalisatie!

Hoe Theta schatten? $y(t) = \varphi(t)\hat{\theta} + e(t)$

Meting
$$\begin{bmatrix} y(0) \\ y(2) \\ \vdots \\ y(N-1) \end{bmatrix} = \begin{bmatrix} \varphi(0) \\ \varphi(1) \\ \vdots \\ \varphi(N-1) \end{bmatrix} \hat{\theta} + \begin{bmatrix} e(0) \\ e(2) \\ \vdots \\ e(N-1) \end{bmatrix}$$

$$\vec{Y} = \vec{\varphi} \cdot \vec{\hat{\theta}} + \vec{e}$$

Kostenfunctie
$$J = \sum_0^{N-1} e^2(t) = \vec{e} \cdot \vec{e}^T = [\vec{Y} - \vec{\varphi} \cdot \vec{\hat{\theta}}]^T [\vec{Y} - \vec{\varphi} \cdot \vec{\hat{\theta}}]$$

Afgeleide = 0 ?
$$\frac{\partial J}{\partial \hat{\theta}} = -2\vec{\varphi}^T \vec{Y} + 2\vec{\varphi}^T \vec{\varphi} \cdot \vec{\hat{\theta}}$$

$$\vec{\hat{\theta}} = [\vec{\varphi}^T \vec{\varphi}]^{-1} \vec{\varphi} \cdot \vec{Y}$$

SYSTEEM IDENTIFICATIE

- Algemeen model (met ruismodel):

$$A(q^{-1})y(t) = \frac{B(q^{-1})}{F(q^{-1})}u(t) + \frac{C(q^{-1})}{D(q^{-1})}e(t)$$

- Numerieke optimalisatie nodig

Voorbeeld MATLAB meting heatexchanger

- Orde A en B verhogen: in theorie betere fit
- Praktijk: Systeem niet lineair, complexe verstoring/ruis:
optimale orde

Kevin Dekemele, Jasper Juchem Mia Loccufier

Dynamical Systems and Control

E Kevin.Dekemele@ugent.be
E Jasper.Juchem@ugent.be
E Mia.Loccufier@ugent.be
T +32 9 264 55 87

www.ugent.be



Universiteit Gent



@ugent



@ugent



Ghent University